

1

ALCALDIA MAYOR DE BOGOTA
SECRETARIA DE OBRAS PUBLICAS

ESTUDIO GEOLOGICO Y GEOTECNICO
BARRIO MARISCAL SUCRE
Bogotá



(Contrato No. 419 de 1989)

JAIME D. BATEMAN DURAN
Ingeniero Consultor



Bogotá, Marzo de 1990

E 21

2

CONTENIDO

	PAG
1. INTRODUCCION.	1
2. GEOLOGIA GENERAL DEL AREA DEL BARRIO.	2
2.1. Geomorfología.	2
2.2. Litoestratigrafía.	3
2.3. Estructura.	4
3. DESCRIPCION GEOTECNICA DEL PROBLEMA.	5
4. TOPOGRAFIA.	6
4.1. Planimetría.	6
4.2. Altimetría.	6
5. CENSO DE VIVIENDAS Y REDES.	6
6. INVESTIGACION DEL SUBSUELO.	8
6.1. Exploración del subsuelo.	8
6.2. Ensayos de laboratorio.	8
7. ANALISIS DE INGENIERIA Y DIAGNOSTICO.	8
7.1. Subzona No 1	9
7.2. Subzona No 2	10
7.3. Subzona No 3	10
7.4. Subzona No 4	11
7.5. Subzona No 5	11
8. DISENOS Y RECOMENDACIONES.	12
8.1. Subzona No 1	12
8.2. Subzona No 2	12
8.3. Subzona No 3	12
8.4. Subzona No 4	13
8.5. Subzona No 5	13
8.6. Otras recomendaciones.	14
9. ESPECIFICACIONES DE CONSTRUCCION.	14
9.1. Gaviones.	14
9.2. Rellenos seleccionados.	15
9.3. Trincheras drenantes.	15
10 CANTIDADES DE OBRA Y PRESUPUESTO	15
11 LIMITACIONES.	16

ANEXOS

- No. 1 RECUENTO GRAFICO.
- No. 2 RECUENTO FOTOGRAFICO.
- No. 3 TOPOGRAFIA.
- No. 4 INVESTIGACION DEL SUBSUELO.
- No. 5 ANALISIS DE ESTABILIDAD
- No.6 PRESUPUESTO

SECRETARIA DE OBRAS PUBLICAS
ALCALDIA MAYOR DE BOGOTA
ESTUDIO GEOLOGICO Y GEOTECNICO
BARRIO MARISCAL SUCRE
BOGOTA D.E.

1. INTRODUCCION

Como parte de los trabajos contemplados en el contrato No. 419, celebrado entre el Distrito Especial de Bogota - Secretaria de Obras Publicas, y el Ingeniero Jaime D. Bateman Durán, se ha realizado el Estudio Geológico y Geotécnico del barrio Mariscal Sucre, localizado al Este de la Ciudad de Bogotá, donde existe un área inestable del orden de 7000 m².

La zona está ubicada entre las transversales 1 y 2 Este y entre las calles 47 y 43. El área está parcialmente construida, predominando las zonas verdes donde crece el pasto kikuyo. Ver Figura No. 1 del Anexo 1 y Anexo No. 2 "Recuento fotográfico".

Para la ejecución del estudio se desarrollaron las siguientes actividades:

- Recopilación y análisis de información geológica disponible en el Instituto de Investigaciones Geológicas Mineras, Ingeominas, sobre el Barrio en referencia y, en general, el piedemonte de la Sabana de Bogotá.
- Recopilación de mapas topográficos del área en las siguientes entidades:
Instituto Geográfico Agustín Codazzi; mapa escala 1:2000
Empresa de Acueducto y Alcantarillado de Bogotá; Escala 1:1000.
D.A.P.D; Escala 1:500.
- Recopilación de fotografías aéreas del Instituto Geográfico Agustín Codazzi pertenecientes al vuelo C-2264 fotos 212, 213, 214 y 215 que cubren el sector comprendido entre Monserrate y la Quebrada Las Delicias, dentro del cual está ubicado el barrio en referencia.

- Inspección geotécnica del terreno entre los meses de Diciembre y Enero por parte de un grupo de especialistas de la firma, con el objeto de delimitar las áreas inestables y las probables causas de su origen; adicionalmente se determinaron los trabajos de campo a realizar para determinar las características del subsuelo.
- Elaboración de un programa adecuado de investigación del subsuelo, fundamentado en sondeos y en una serie de ensayos de laboratorio, con el fin de determinar sus propiedades geotécnicas.
- Análisis de estabilidad de las laderas en estudio.
- Recomendaciones para corrección y prevención de zonas en movimiento.
- Cantidades de obra y presupuesto de las obras recomendadas.

2. GEOLOGIA GENERAL DEL AREA DEL BARRIO

El "Mariscal Sucre" está emplazado dentro del área del piedemonte de los Cerros Orientales de la Sabana de Bogotá, en el sector que partiendo de la Avenida Circunvalar hacia el Oriente asciende con pendientes comprendidas entre 10 grados y 27 grados; algunos lotes del barrio, aún no construidos, presentan afloramientos de roca estratificada que tiene taludes superiores a los 45 grados.

La superficie del terreno está constituida por suelo residual (Qsr), depósitos de coluvión (Qcol) y estratos de arcillolita, arenisca y limolita que pertenece a la Formación Bogotá (Tib). En la figura No.1.1 del anexo No 1 se presenta la geología general de la zona; se destaca en la parte superior central de la misma un flujo de lodo en extensión reducida.

2.1 Geomorfología.

El desarrollo de la pendiente del piedemonte en el área del barrio "Mariscal Sucre" muestra varios cambios en su grado de inclinación, los cuales están señalando los diferentes grados de dureza y resistencia a la erosión de la roca subsuperficial.

A continuación se destacan algunos aspectos de importancia:

- La parte del barrio más próxima a la Avenida Circunvalar tiene sectores semiplanos constituidos por capas de arcillolita, principalmente, cubiertas por suelo residual y/o depósitos coluviales.

- Hay un sector de unos 3-5 m de altura que comprende los taludes naturales más pendientes, localmente verticales, que muestra un afloramiento de arenisca bien cementada y una capa de arcillolita, de continuidad notoria hacia el norte del colector de agua de la calle 45.
- Inmediatamente después, y en dirección al oriente, hay una zona plana de 10 a 30 metros de ancho, que forma un escalón bien definido al norte del mencionado colector; hacia el sur de dicha obra ésta zona geomorfológica no se muestra con la misma claridad, puesto que sobre ella parece haberse acumulado un depósito de mayor espesor de suelo residual, el cual actualmente está reptando.
- La siguiente zona, la cual es compartida con el barrio "San Martín", es una franja con algunos cambios de pendiente observables al recorrerla de sur a norte, los cuales están asociados con una mayor o menor acumulación de suelo residual principalmente arcilloso, el cual se ha inestabilizado tanto por acción natural como por las obras urbanas del sector.

Los drenajes principales del terreno del "Mariscal Sucre" (y los del "San Martín") son tres depresiones las cuales están canalizadas convenientemente, controlándose con estas obras la acción deletérea que puedan ocasionar las aguas lluvias en los terrenos del barrio.

2.2 Litostratigrafía.

Dentro del área del barrio Mariscal Sucre se identificaron tres tipos de depósitos no consolidados y estratos de una formación geológica .

Los depósitos no consolidados comprenden depósitos de suelo residual (Qsr), de coluvión (Qcol) y un flujo de lodo (Qfi). En los afloramientos apreciados dentro del área del barrio se identifican estratos de arcillolita y arenisa y algunas capas de poco espesor de limolita, los cuales pertenecen a la formación Bogotá (Tib).

En la figura No 1.1 del Anexo No 1 se destacan dichos depósitos.

2.2.1 Suelo Residual (Qsr).

La mayor parte de la superficie del barrio Mariscal Sucre está cubierta por una capa de suelo residual cuyo espesor varía entre 0.60 y 2.50 metros.

La composición del suelo residual es predominantemente arcillosa dado que la mayor parte de los estratos que conforman el subsuelo son de arcillolita; en segundo término, hay un suelo arenoso-limoso.

En buena parte de los lotes no construidos se aprecia la secuencia que muestra la capa de suelo residual maduro - saprolito - roca moderadamente alterada - roca fresca, condición que sugiere un espesor homogéneo de la capa de suelo residual en el área; ésta condición se modifica en el terreno al ocurrir desplazamiento de masas de suelo residual por reptación y/o deslizamiento ladera abajo, que las acumulan en áreas topográficas más planas o en depresiones del terreno, por lo cual en estos lugares el espesor del suelo residual es mayor.

2.2.2 Depósitos de coluvión (Qcol).

Distribuidos de manera errática; hay depósitos coluviales constituidos por fragmentos de arenisca de tamaño bloque a grava, emplazados dentro de una matriz arcillo-arenosa y limo-arcillosa principalmente. El espesor de estos depósitos de coluvión está comprendido entre 1.0 y 5.0 metros.

2.2.3 Flujo de lodo (Qfi).

Se ha identificado un depósito de este tipo (fuera de los terrenos del Mariscal Sucre, ver fotografía No. 10), el cual comprende una secuencia de depósitos dispuestos a manera de capas, distinguibles entre sí por el contenido variable de los fragmentos gruesos y angulosos que poseen.

2.2.4 Formación Bogotá (Tb).

Los afloramientos de roca exponen de manera discontinua conjuntos de arcillolita, estratificación media a laminar, homogéneos o a veces alternando con capas de arenisca y limolita de algunos centímetros de espesor. Hacia la parte media-inferior de la ladera, hay un paquete de estratos dentro del cual se destaca un banco de arenisca blanca, grano fino, cementada, moderadamente dura, de 3-4 metros de espesor (ver fotografía No. 11).

2.3. Estructura.

Las actitudes de la roca medidas en el "Mariscal Sucre" muestran en general, buzamientos de 14 grados a 35 grados al este, apreciación que sugiere que el sector es parte de una estructura monoclinial que se desarrolla a lo largo del piedemonte de los Cerros Orientales de Bogotá.

8

3. DESCRIPCION GEOTECNICA DEL PROBLEMA.

El fenomeno de inestabilidad que se presenta en el barrio Mariscal Sucre, corresponde a un movimiento lento, cuyo espesor varia entre 0.5 m y 2.5 m; estos suelos son el producto de la meteorización de las arcillolitas y areniscas que se encuentran suprayacentes.

El área del barrio afectada por el movimiento lento y superficial es de 7000 m²; esta área y la forma de la misma, hacen necesario dividir la zona en subzonas para el análisis detallado y la búsqueda de alternativas de solución, tal como se indica en la figura No 1.2 del Anexo No1.

A continuación se describen las subzonas mencionadas:

- Subzona 1: Se encuentra localizada al sur de la calle 45 entre las transversales 2 Este y 1A Este, la sección transversal de esta subzona se caracteriza por una pendiente fuerte (2H:1V) y por la evidencia de movimientos que en tiempos pasados han destruido algunas casas. En la parte alta se han presentado movimientos que exponen intercalaciones de areniscas y arcillolitas con pendientes cercanas a 1H: 1V; sobre éstas rocas se encuentran suelos residuales con espesores que varían entre 0.80 m y 3.0 m, los cuales tienden a moverse generando agrietamientos en algunas casas. En la parte baja, y debido a movimientos anteriores, se hincaron pilotes de madera, los cuales penetraron entre 2.0 y 2.5 m. Ver Figura No. 1.3.
- Subzona 2: Se encuentra localizada al norte de la subzona 1 entre las calles 45 y 46. El terreno presenta una pendiente de 2H:1V, donde se aprecian ondulaciones fruto del movimiento lento del suelo. Los residentes localizados al oriente de la subzona 2, no poseen un sistema de aguas negras adecuado, y vierten sus aguas al talud; los suelos adquieren así una gran humedad y tienden a moverse, afectando una casa de tipo campestre que se encuentra al occidente de la subzona 2. Figura No. 6 y 7.
- Subzona 3: Se encuentra localizada al Norte de la subzona 2 afectando la calzada de la transversal 2 Este entre los números 46-39 a 46-74. El fenómeno se puede definir como un hundimiento del suelo aledaño a la vía producido por la alta pendiente del talud y una descarga del pie del talud en el momento de construir la casa de la Figura No. 1.6. La subzona esta limitada por el norte con un coluvion donde se han construido edificaciones de 2 y 3 pisos los cuales no presentan problemas de estabilidad.

- Subzona 4: Comienza cerca de la transversal 3A Este sobre la calle 45, afectando la cabecera de la cañada, inmediatamente al sur del salón de acción comunal. El deslizamiento inicial se presenta dentro de una masa de suelo transportado en antiguas avalanchas, siendo este de tipo rotacional. En la actualidad el principal problema que se presenta tiene que ver con la falta de control sobre las aguas lluvias que aumentan el grado de saturación del suelo y la falta de un reacondicionamiento del terreno.
- Subzona 5: Esta localizada al Norte del canal de aguas lluvias y cubre un área de unos 2500 m². Se caracteriza por un fenómeno de erosión de suelo residual de espesor fluctuante entre 0.50 y 2.50 metros. Adicionalmente y en la parte alta de esta subzona se encuentran depósitos de suelos residuales, los cuales en una estrecha faja están fluyendo

En el anexo No 2 se incluye un recuento fotográfico, en el cual se presentan los aspectos mencionados anteriormente.

4. TOPOGRAFIA

De la zona inestable se efectuó un levantamiento topográfico el cual comprendió dos (2) etapas, a saber:

4.1 Planimetría

Con el objeto de actualizar la información existente se procedió a realizar un levantamiento topográfico de los deslizamientos y estructuras vecinas, para poder localizar las medidas correctivas y preventivas que se plantean. En el Anexo No 3 "topografía" se incluyen los resultados de los trabajos de topográficos realizados.

4.2 Altimetría

Para la verificación de la altimetría existente o su complementación, se trazaron secciones transversales a lo largo de los ejes planteados para la planimetría.

5. CENSO DE VIVIENDAS Y DE REDES.

A continuación se presentan los resultados de las visitas efectuadas al barrio Mariscal Sucre, con el objeto de conocer las condiciones de estabilidad de las edificaciones que se encuentran en el área considerada o en sus fronteras.

- Sobre la transversal 2 Este en el número 46-39, se encuentra una casa que colinda con la subzona 3. Está afectada en su extremo Norte por agrietamiento de sus paredes las cuales se han separado entre 2.0 y 2.5 cms en la parte delantera. En la parte posterior se ha inclinado más de 5.0 cms una pared de madera (Ver Figura No.1.7, del Anexo No 1).
- En el número 46-35 de Transversal 2 Este, no se han presentado problemas de agrietamientos en la edificación, por encontrarse ésta alejada de la zona de movimiento.
- En el número 46-31 de la Transversal 2 Este, el tubo de aguas negras se rompió y estas aguas son dispuestas sobre el talud causando su saturación, lo cual acelera la velocidad del movimiento en el lugar. El terreno presenta agrietamientos que no afectan la edificación.
- Sobre la misma Transversal 2 Este en el número 46-09, los servicios de la parte posterior de la casa no están conectados al sistema de aguas negras del barrio y éstas aguas son arrojadas al talud.

En este mismo número se encontró en el momento de la visita un establo con marranos y vacas. El terreno está saturado por el exceso de agua que se deja caer de los bebederos.

- En el número 45-45 se presenta un agrietamiento del lote debido a la saturación del suelo por las aguas negras que son arrojadas al talud. Una habitación de la parte posterior de la casa se encuentra agrietada debido a la pérdida de parte del terreno de cimentación; los dueños del lugar han reemplazado el suelo de fundación por un relleno de piedra, la cual a dado buenos resultados hasta el momento.
- Entre las calles 45 y 44 la casa que da sobre la Transversal 2 Este no presenta problemas de estabilidad; sin embargo, las casas que se encuentran localizadas detrás son afectadas por una masa de suelo cuyo espesor es de 2.60 m. Este movimiento destruyó una casa en años anteriores obligando a los dueños a construir una nueva prefabricada, con el objeto de desarmarla cuando el terreno la amenace.

A pesar de contar con red de aguas negras, las casas de la Transversal 2 Este con calle 45 arrojan aguas de lavado al talud propiciando su movimiento.

En la Transversal 1E No. 43-40 la casa se encuentra agrietada a causa del movimiento de una capa de suelo residual cuyo espesor varía entre 2.0 y 3.0 metros y tiene una pendiente general del 100%. La casa que se muestra en la parte alta de la Figura No.4 ha sufrido agrietamientos en las paredes a causa del movimiento.

6. INVESTIGACION DEL SUBSUELO.

Con el propósito de conocer las propiedades geotécnicas de los materiales que constituyen el subsuelo, se realizaron las siguientes actividades:

6.1 Exploración del Subsuelo.

Se fundamentó en la ejecución de cuatro (4) sondeos con equipo portátil de percusión, de profundidades variables entre 5.0 y 7.5 m, y ocho (8) apiques de profundidades variables entre 2.0 y 5.0 m. En la Figura No. 1.2 del Anexo No 1 se indica la localización de los puntos de exploración.

A lo largo de la profundidad explorada y en cada uno de los sondeos se realizó el ensayo de penetración estándar (SPT), recuperando la respectiva muestra alterada con el tubo partido (Split Spoon).

De las perforaciones efectuadas se hizo un registro continuo y detallado de los suelos encontrados. Además, se determinó que no apareció el nivel freático durante la ejecución de los sondeos.

En el Anexo No. 4 "Investigación del subsuelo", se presentan las columnas estatigráficas del subsuelo y la variación de sus propiedades geotécnicas con la profundidad. Además, se incluyen los graficos de los ensayos de compresión inconfiada realizados.

6.2 Ensayos de Laboratorio.

Todas las muestras recuperadas se identificaron visualmente y sobre una cantidad representativa de los diferentes tipos de suelo encontrados, se efectuaron los ensayos de laboratorio requeridos para clasificarlos y para determinar sus propiedades mecánicas e in-situ.

Ensayos de clasificación:

- Límite líquido
- Límite plástico
- Lavado sobre tamiz No. 200

Ensayos in-situ:

- Humedad Natural
- Peso unitario



En las tablas Nos. 1 a 5 del anexo No. 4 "Investigación del subsuelo", se presentan los resultados de los ensayos de laboratorio realizados.

7. ANALISIS Y DIAGNOSTICO.

Con base a los resultados obtenidos, tanto en los trabajos de investigación del subsuelo, como de reconocimiento del terreno se pudo establecer que en la mayor parte del área predomina una arcilla limosa de plasticidad media a alta y de consistencia media a firme; en general la resistencia aumenta con la profundidad.

En el sondeo 2 se encontró a partir de 2.75 m, una arena limosa de grano fino y de consistencia firme, la cual puede actuar como un acuífero y aportar agua hacia la masa deslizada.

7.1 Subzona 1.

Para el análisis de estabilidad de la subzona 1 se estudió una sección longitudinal del movimiento; la cual se muestra en la Figura 6.1, del Anexo No 6 la profundidad de la masa que se mueve varía entre 2.0 metros en la parte alta y 2.5 a 3.0 metros en la parte baja.

En la Figura 6.1 se presentan los análisis de estabilidad efectuados por el método de Duncan y Buchignani, para un talud infinito y una presión de poros de 2 metros.

Como se puede observar, la cohesión en la base de la tajada, mediante este método de retrocálculo, resulta ser $c = 2.3 \text{ T/m}^2$.

A partir de este parámetro se consideraron fuerzas horizontales, aplicadas como fuerzas estabilizantes, con el objeto de evaluar el incremento en el factor de seguridad.

De acuerdo con el Código Colombiano de Construcciones Sismo-resistentes, Bogotá está localizada en una zona de riesgo sísmico intermedio, y por lo tanto, le corresponde un coeficiente de aceleración horizontal de 0.12. Con este coeficiente el factor de seguridad cambia de 1.36 cuando se encuentra el área parcialmente construida a 1.0 cuando se presente un sismo de esta magnitud.

Para obtener un incremento en el factor de seguridad hasta 1.5, se requiere un muro que pueda soportar una fuerza horizontal de 20 Ton/m. El factor de seguridad de 1.5 se toma teniendo en cuenta que el área tiende a ser construida y por tal razón, el riesgo de pérdidas materiales y aun de vidas se hace importante.

La construcción de un muro de contención requiere la excavación de 9 m³ de suelo natural por metro lineal de muro, lo cual implica una descarga en la pata, disminuyendo el factor de seguridad durante la construcción en forma considerable; esto hace necesario que su construcción se haga durante un periodo de sequía.

Otra solución estudiada es la generación de terrazas como las que se muestran en las Figuras 6.2 y 6.3. En la Figura 6.2 se puede observar un sistema de terrazas que cortan únicamente el suelo residual pero descubren en parte la arcillolita. Esta solución no ofrece áreas suficientemente amplias como para ser construidas; los cortes en suelo son del orden de 2510 m³.

En la Figura 6.3, las bermas se amplían penetrando en materiales de alta resistencia y generan cortes del orden de 6240 m³ en arcillolitas, areniscas y suelos.

La solución que se plantea con bermas, requiere una empedradización inmediata dado que las arcillolitas son rápidamente alterables; las bermas deben tener una pendiente hacia el inferior del macizo, del 2 % al 4 % y terminar en una cuneta de concreto en forma de V, la cual deberá desaguar en la Calle 45, con una pendiente longitudinal del 1% como mínimo.

7.2. Subzona 2

La sección longitudinal que se empleó para el análisis de estabilidad en la subzona se presenta en la Figura No. 6.4; la profundidad de la masa movida varía entre 0.5 en los extremos y 2.5 metros en la parte central del movimiento.

Es muy importante tener en cuenta que en esta subzona 2 el terreno se encuentra saturado por la acción de aguas negras que son vertidas por los habitantes de la parte alta. Por esta razón se hace imprescindible la construcción de una línea de aguas negras con el objeto de recogerlas, ya que los habitantes entrevistados argumentan que la línea existente en la Transversal 2 Este no es lo suficientemente profunda como para poder drenar los servicios de la parte posterior de las casas.

La subzona dos se encuentra dentro de un predio privado, factor que debe ser tenido en cuenta en el momento de emprender cualquier obra.

Para el análisis de la condición más crítica es decir cuando se presenta un factor de seguridad de uno (1), se recurrió al proceso de retrocálculo. Dadas las condiciones geométricas y geotécnicas que se presentan, se llegó a una cohesión en la base de la tajada de $c = 1.5 \text{ t/m}^2$; con esta cohesión se consideraron fuerzas horizontales, aplicadas como fuerzas estabilizantes, con el objeto de encontrar un factor de seguridad adecuado, incluyendo un coeficiente de aceleración horizontal de 0.12.

Como resultado de este proceso, se llegó a una fuerza horizontal de 10 ton/m, la cual produce un factor de seguridad igual a 1.021 en el caso más crítico, o sea, cuando se presenta el sismo de diseño.

De acuerdo con lo anterior y de no ser posible el control total de las aguas negras provenientes de la parte alta del talud, resulta importante construir una estructura de contención que pueda soportar fuerzas laterales de hasta 10 ton/m, con un factor de seguridad apropiado contra volcamiento y deslizamiento de su base.

Teniendo en cuenta aspectos técnicos, económicos y de facilidad de construcción, la alternativa de un muro de gaviones resulta ser la más adecuada.

7.3. Subzona 3

La Subzona 3 presenta capas de arcilla que incrementan su contenido de arena con la profundidad, o aumentan su resistencia hasta convertirse en arcillolitas. En algunos sectores se pueden encontrar materiales de construcción o excavación, provenientes del vecindario que los han arrojado allí luego de efectuar sus edificaciones. En la parte central de la subzona se puede apreciar un afloramiento de arenisca, de buenas características mecánicas.

La subzona 3 se encuentra limitada por el Oriente con la transversal 2 Este, la cual presenta un hundimiento de su banca. Con el objeto de permitir la ampliación de esta vía, se hace necesaria la construcción de un muro en gaviones con una base de 3 m, cimentada a 5 metros bajo el nivel actual de la vía, y en donde se encuentra una arcilla de consistencia firme a muy firme.

En la figura No 6.5 del Anexo No. 6 se presenta el muro mencionado.

7.4. Subzona 4

La Subzona 4 esta formada por una estrecha faja de suelo depositado por un flujo de lodos de épocas anteriores. En la actualidad este flujo se ha activado debido principalmente a la falta de control de las aguas lluvias y negras que se presenta a lo largo de la calle 45 entre las transversales 3 Este y 2 Este, hasta alcanzar el frente del Salon de Accion Comunal.

Como medida correctiva se hace necesaria la construcción de un sistema de trincheras drenantes, que recojan las aguas infiltradas y las dispongan en la intersección de la calle 45 con la transversal 2 este, tal como se muestra en el plano No 3.1 (Anexo No 3).

7.5 Subzona 5

Esta Subzona presenta una topografía muy quebrada, propiciada por la presencia de areniscas de alta resistencia; sin embargo, sobre estas areniscas existen suelos residuales provenientes de arcillolitas cuyo espesor es superior a los 4.0 metros, los cuales, en un espesor promedio de 2.0 m se encuentran en movimiento debido a su alto grado de humedad, fuerte pendiente y presencia de animales como burros y vacas que han generado zonas planas, en las cuales el agua se acumula e infiltra con facilidad.

Otro factor externo que contribuye con la inestabilidad de la subzona es la presencia de aguas servidas, que como en el caso de la transversal 1 Este número 43-08, se fuga del sistema de desagüe y se infiltra en el suelo próximo a la cuneta, antes de alcanzarla.

en el Anexo No 5 se incluyen los resultados de los ensayos de estabilidad realizados.

8. CONCLUSIONES Y RECOMENDACIONES.

8.1. Subzona 1

Teniendo en cuenta que los suelos presentes, al igual que la arcillolita son muy alterables, y que no se puede garantizar el correcto manejo de las aguas lluvias y aguas negras, así como la permanencia de la empradización de los taludes y bermas, se recomienda la construcción de bermas de pequeña longitud, con el fin de adecuar la subzona como zona verde.

Las bermas deben ser empradizadas, al igual que los taludes que se generen, deben tener una contrapendiente con inclinación del 2% y terminar en una cuneta en V, tal como se indica en el Plano No 1 del Anexo 6.

En la parte alta de la subzona 1 se propone construir una trinchera drenante de 40 metros de longitud y 2.0 metros de profundidad, forradas en geotextil y rellena de material cuya granulometría debe estar entre 3" y 6"; las aguas recogidas deben ser dispuestas en las cunetas de la calle 45. Su localización se presenta en el Plano No 1 del Anexo No 6.

8.2. Subzona 2

Para mejorar la estabilidad de la subzona 2, la cual hace parte de una propiedad privada, se hace necesaria la construcción de una línea de alcantarillado, que recoja las aguas negras de las casas que tienen su frente sobre la transversal 2 Este, donde se encuentra una tubería de alcantarillado, la cual según los propietarios, se encuentra muy elevada para poder recoger las aguas de la parte posterior de las viviendas.

8.3. Subzona 3

Con el objeto de ampliar la transversal 2 Este se hace necesaria la construcción de un muro en gaviones, cimentado 5.0 metros bajo el nivel actual de la vía; este muro estará apoyado sobre una arcilla gris con vetas amarillas y moradas, de consistencia firme a muy firme. Las dimensiones y características geométricas del muro son mostrados en el Anexo No. 5 "Análisis de estabilidad y deformación"; el diseño del muro en gaviones en la Transversal 2 Este se presenta en el plano No 2 del Anexo No 6.

8.4. Subzona 4

Para mejorar las características de drenaje del suelo se hace necesaria la construcción de una trinchera drenante en espina de pescado, tal como se muestra en la figura No. 3.1, Anexo 3 y en el Plano No 3 del Anexo No 6. La longitud total del sistema de trincheras será de 83 metros, con una profundidad variable entre 2.0 m y 4.0 metros y un ancho medio de 0.80 m.

8.5 Subzona 5

Como medida correctiva se plantea la construcción de dos trincheras drenantes de profundidad variable entre 2.0 m y 3.0 metros por 0.80 metros de ancho, forradas con geotextil y rellenas con material granular de tamaño máximo de 6 pulgadas y mínimo de 3 pulgadas, separadas 15 metros en la dirección horizontal. Estas trincheras deben acomodarse a la dirección de las líneas de nivel.

Con el objeto de recoger las aguas de las trincheras se debe proceder al empalme de éstas, con el canal colector principal.

En el plano No 4 del anexo No 6 se presentan los detalles de las trincheras planteadas.

8.6 Otras recomendaciones

La construcción de las vías secundarias dentro del ordenamiento del barrio es imprescindible si se espera poder controlar la erosión de las subzonas.

En el talud que se genera con la construcción de los cortes es necesario prever la colocación de escaleras con la finalidad de que los residentes del barrio no erosionen el talud con caminos dispuestos en forma aleatoria.

En la subzona 2, la construcción de un muro en gaviones de 2 metros de base y tres metros de altura (empotrado 1 m), se hace necesario para garantizar la estabilidad de la zona en el caso de pretender construir viviendas en el sitio; este gavión no tendrá un alineamiento único, dado que el terreno es muy irregular. Ver Anexo 5 ("Muro de gaviones de 3 m de altura").

Para la subzona 3 localizada en un predio privado, en el caso de pretender ser adecuada, se recomienda la construcción de un sistema de dos (2) bermas como el que se presenta en la Figura No. 9 o un muro en gaviones de 3 metros de altura, empotrado 1 metro, en la base de la subzona, como el que se presenta en el Anexo 5. "Análisis de estabilidad": Diseño de un muro de gaviones de 3 metros de altura.

Con el objeto de controlar las infiltraciones a lo largo de la calle 45, se hace necesaria su reconstrucción mediante escaleras, ya que las pendientes en este sentido son fuertes. Para el empalme con la transversal 3 Este se recomienda la construcción de escaleras y la adecuación del terreno, para darle una geometría definida.

Como se mencionó en el numeral 5 del presente informe, las zonas donde se detectó la presencia de animales de pastoreo, tienen una gran tendencia a incrementar el grado de saturación del suelo por la forma descontrolada como se maneja el agua en los bebederos y el constante remoldeo que se da al suelo. Por esta razón y otras que no son objeto del estudio, se hace necesario recomendar que estos animales sean erradicados del lugar.

9. ESPECIFICACIONES DE CONSTRUCCION.

9.1 Gaviones

Antes del inicio de la construcción de los gaviones deberá prepararse la superficie de fundación mediante nivelación y retiro de la capa vegetal y de la materia orgánica. En lo posible debe tratarse de que el Ingeniero de Suelos revise el suelo de fundación, para comprobar la no existencia de zonas blandas bajo el muro.

Las canastas de los gaviones deberán ser fabricadas con malla eslabonada de triple torsión, con abertura de 7.5 cm de lado.

El relleno de las canastas deberá estar constituido por fragmentos de roca o cantos sanos, resistentes y durables. Por ningún motivo debe permitirse el empleo de fragmentos de arcillolitas o lutitas.

Para el inicio del llenado del gavión debe emplearse formaleta. Las costuras de las aristas deberán hacerse de manera que el alambre de cosido amarre un módulo completo de la malla; las aristas horizontales y verticales de gaviones contiguos irán cosidas entre sí. El alambre de cosido deberá ser galvanizado y tener como mínimo el mismo diámetro de la malla del gavión.

9.2 Rellenos Seleccionados

Se adoptan los contenidos en la Sección B-200-67 "Terraplenes y Rellenos" de las especificaciones para construcción de Vías de la Secretaría de Obras Públicas de Bogotá, 1967.

9.3 Trincheras drenantes

El relleno de las trincheras deberá estar constituido por fragmentos de roca o cantos sanos, resistentes y durables. Por ningún motivo deberá permitirse el empleo de fragmentos de arcillolitas o lutitas.

Las trincheras deberán ser forradas con geotextil; el traslapo del geotextil deberá hacerse en la parte superior de la trinchera y tendrá como mínimo 0.30 m de longitud.

Las excavaciones deberán ser apuntaladas cuando su profundidad exceda los 3.0 m.

10 CANTIDADES DE OBRA Y PRESUPUESTO.

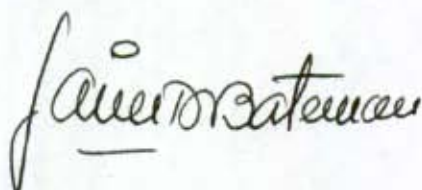
En el Anexo No 7 se incluyen las cantidades de obra correspondientes a las recomendaciones dadas por subzonas; los análisis de precios unitarios y el presupuesto de obra.

19

11 LIMITACIONES

Los términos de este informe se fundamentan en los resultados obtenidos de los trabajos de investigación del subsuelo. Si durante la construcción de las medidas correctivas se presentan condiciones del subsuelo diferentes a las aquí consideradas como típicas, deberá darse aviso al suscrito para introducir las modificaciones a que haya lugar.

Bogotá, Marzo de 1990.



JAIME D. BATEMAN DURAN
Matrícula No 130 - Tolima

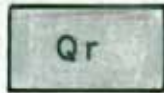
20

A N E X O N o 1

RECUESTO GRAFICO

CONVENCIONES GEOLOGICAS

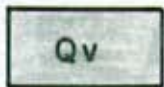
LITOSTRATIGRAFICAS



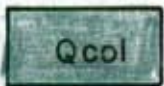
Material de relleno. Botadero de escombros de construcción.



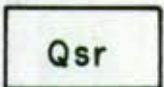
Flujo de lodo.



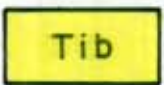
Suelo vegetal, de espesor variable; su extensión se modifica continuamente por la construcción de vías y viviendas.



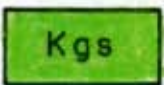
Depósito coluvial, constituido por fragmentos de arenisca tamaño bloque a grava en matriz areno-limosa.



Suelo residual, producto de la meteorización de la roca in situ; tiene composición areno-arcillosa principalmente y son depósitos semiconsolidados o sueltos que yacen próximos a la roca estratificada.

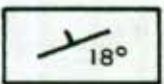


Formación Bogotá, del terciario inferior de la sabana. Son conjuntos de arcillolita pardo rojiza, gris parda intercalados por algunos bancos y estratos de arenisca regularmente cementado.

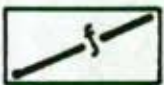


Grupo Guadalupe de edad cretáceo superior. Comprende las formaciones Arenisca Dura (Kgd), Formación Plaeners (Kgp), Arenisca de Labor (Kgal) y Arenisca Tierna (Kgat).

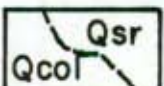
ESTRUCTURALES



Rumbo y buzamiento de los estratos



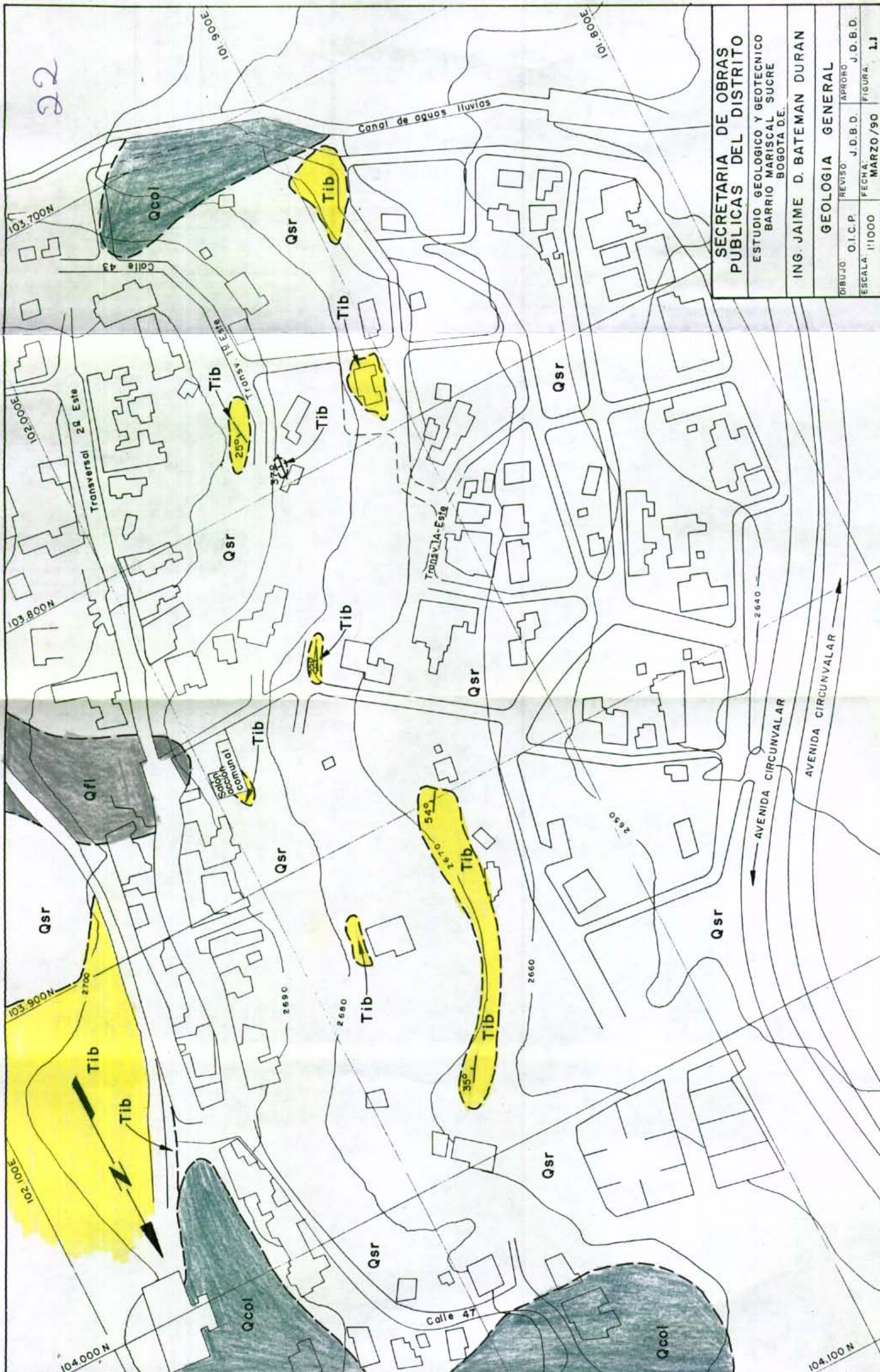
Falla geológica



Contacto geológico

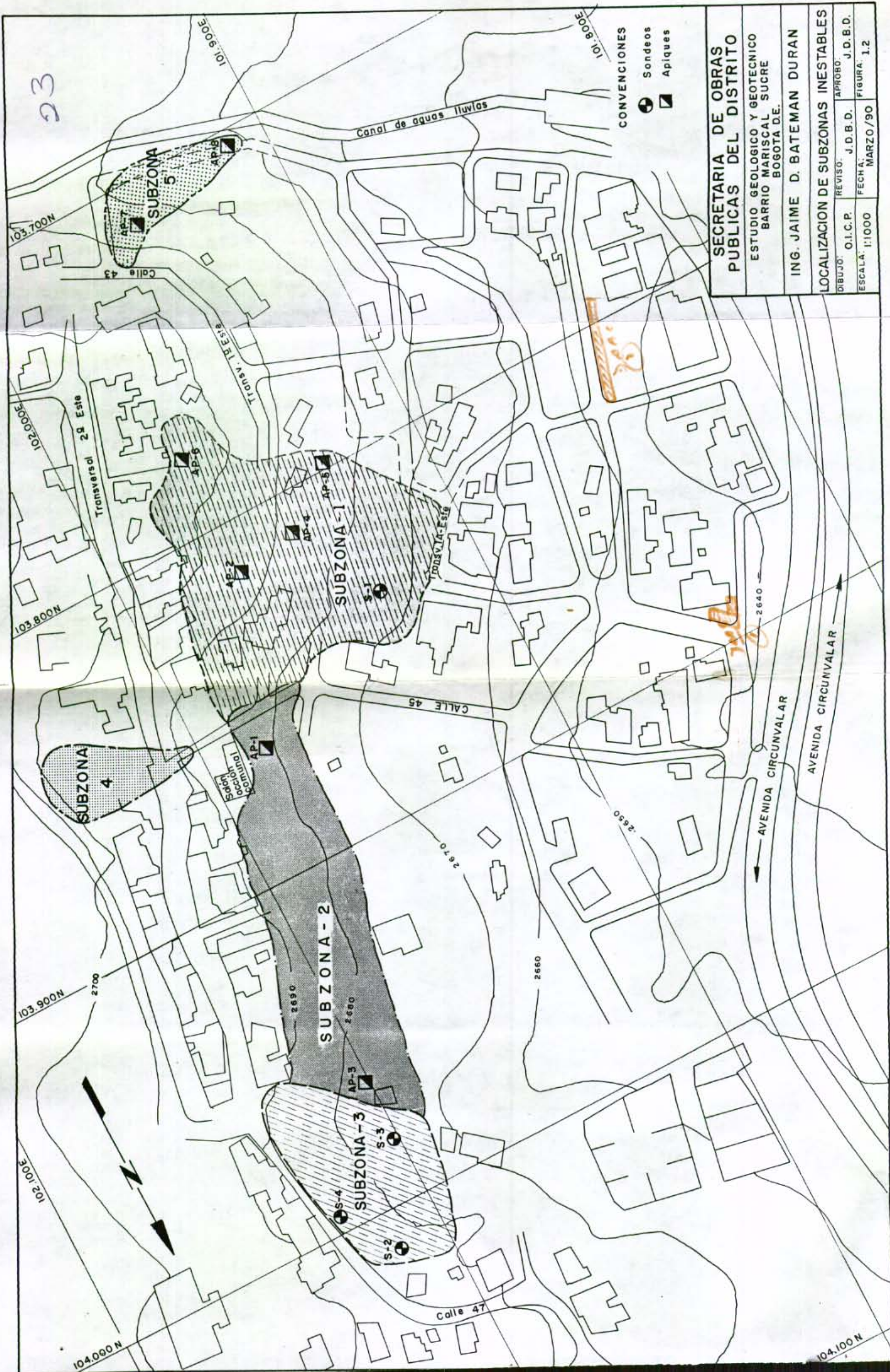


22



SECRETARIA DE OBRAS PUBLICAS DEL DISTRITO			
ESTUDIO GEOLOGICO Y GEOTECNICO BARRIO MARISCAL SUCRE BOGOTA D.E.			
ING. JAIME D. BATEMAN DURAN			
GEOLOGIA GENERAL			
DIBUJO	O.I.C.P.	REVISO	J.D.B.D.
APRORO	J.D.B.D.	FECHA	MARZO/90
ESCALA	1/1000	FIGURA	1.1

23

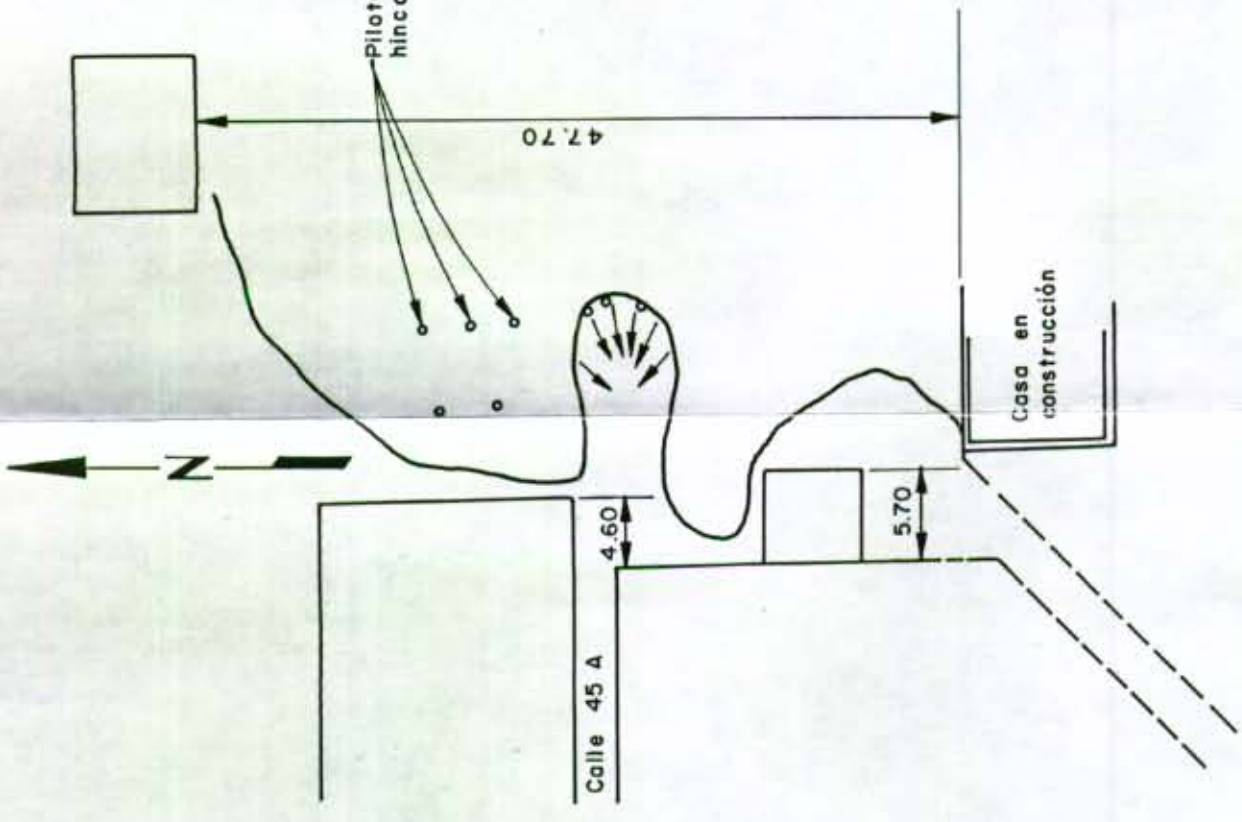


CONVENCIONES

- Sondeos
- ▣ Apiques

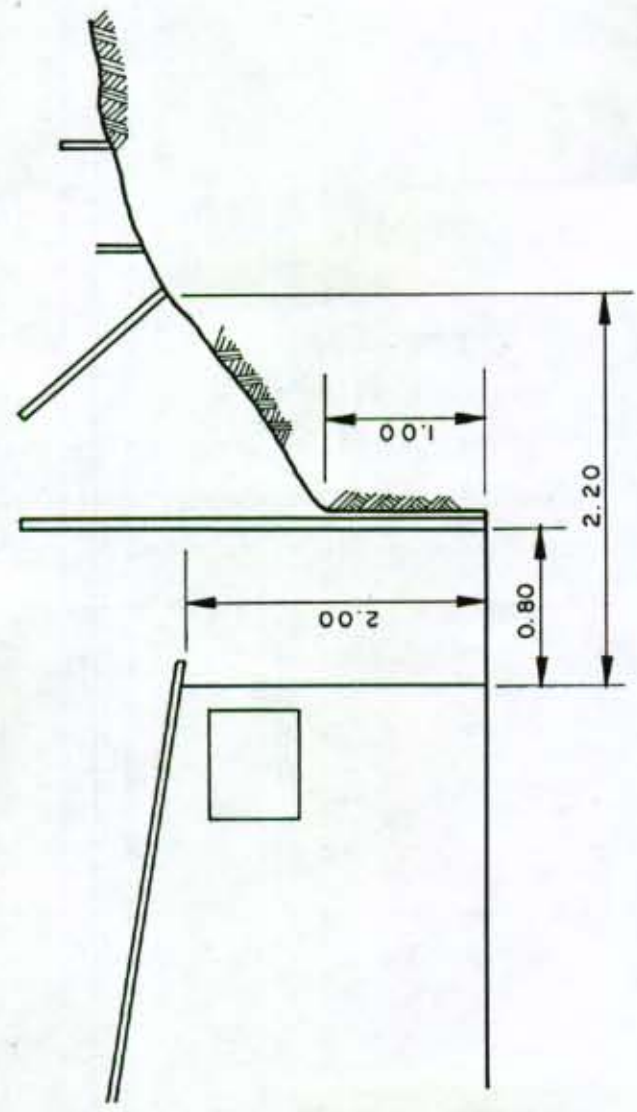
SECRETARIA DE OBRAS PUBLICAS DEL DISTRITO	
ESTUDIO GEOLOGICO Y GEOTECNICO BARRIO MARISCAL SUCRE BOGOTA D.E.	
ING. JAIME D. BATEMAN DURAN	
LOCALIZACION DE SUBZONAS INESTABLES	
DIBUJO: O.I.C.P.	APROBO: J.D.B.D.
ESCALA: 1:1000	FECHA: MARZO/90
	FIGURA: 1.2

24

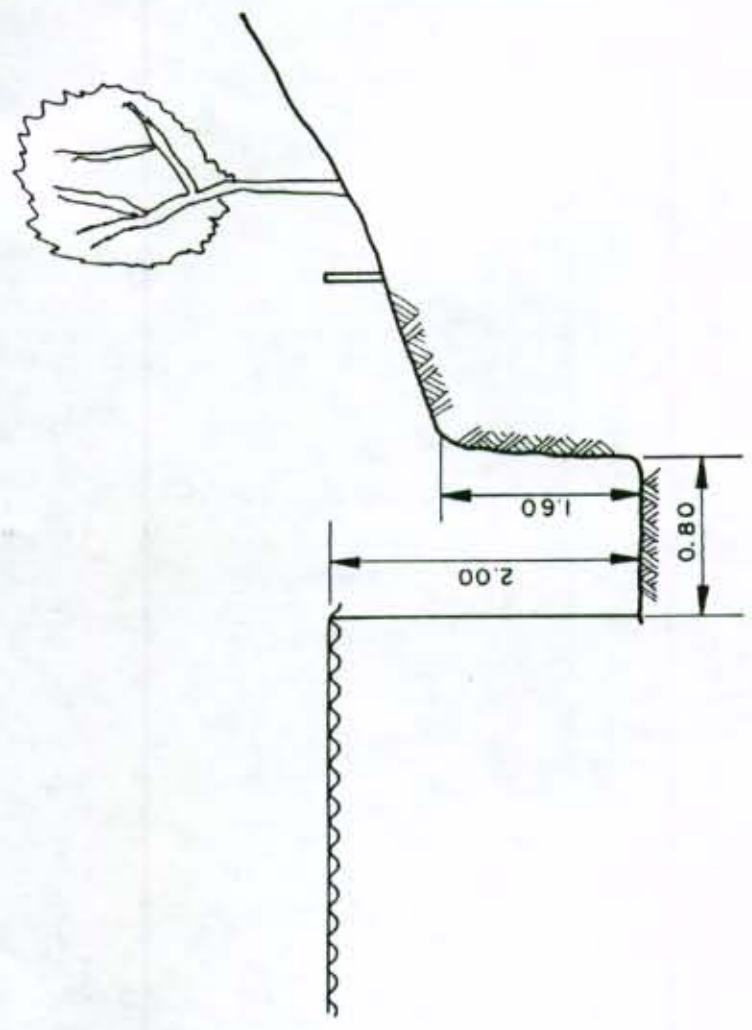


VISTA EN PLANTA
CALLE 45A TRANSV. 1A ESTE

NOTA: Todas las medidas están dadas en metros

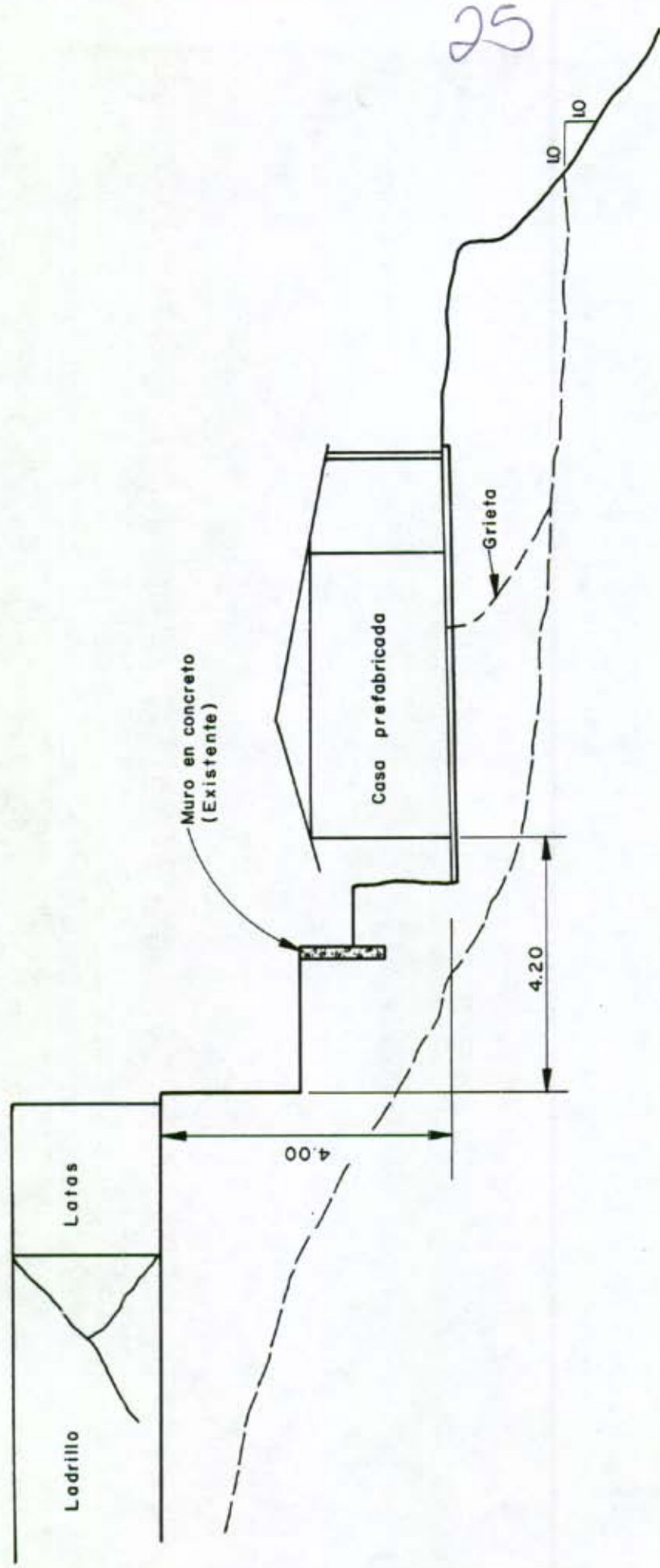


CALLE 45A Nº 1 A - 12 ESTE



VISTA SUR - NORTE
TRANSV. 1 A ESTE ENTRE CALLES
45A y 44

SECRETARIA DE OBRAS PUBLICAS DEL DISTRITO	
ESTUDIO GEOLOGICO Y GEOTECNICO BARRIO MARISCAL SUCRE BOGOTA D.E.	
ING. JAIME D. BATEMAN DURAN	
SUBZONA-1 CALLE45A-TRANSV.1A ESTE	
DIBUJO: O.I. C.P.	REVISO: J. D. B. D.
ESCALA: SIN	FECHA: MARZO/90
	FIGURA: 1.3
	APROBO: J. D. B. D.



VISTA TRANSVERSAL 1E N° 43 - 40

SECRETARIA DE OBRAS
PUBLICAS DEL DISTRITO

ESTUDIO GEOLOGICO Y GEOTECNICO
BARRIO MARISCAL SUCRE - BOGOTA D.E.

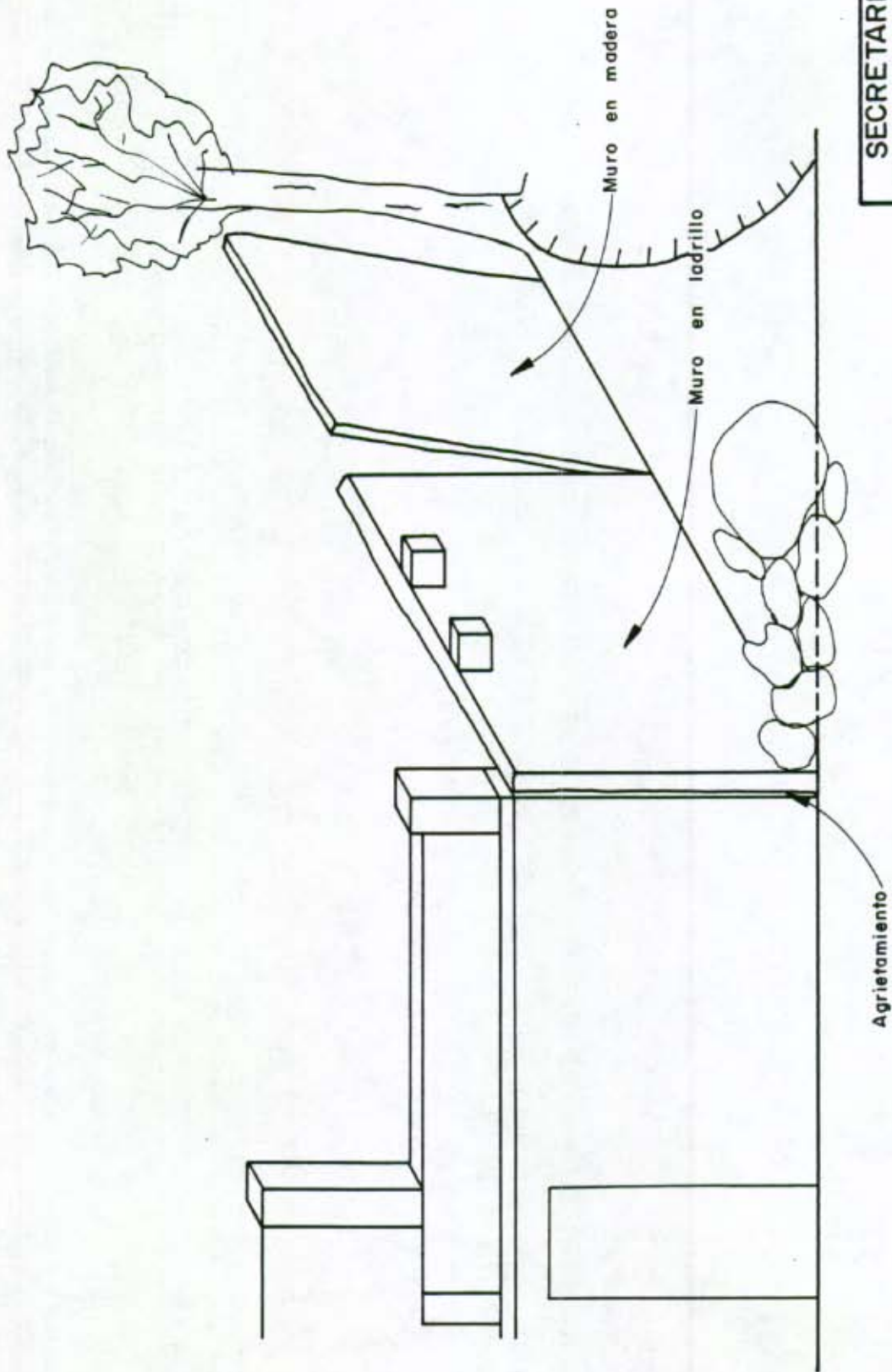
ING. JAIME D. BATEMAN DURAN

SUBZONA 1

DIBUJO: O.I.C.P. REVISO: J.D.B.D. APROBO: J.D.B.D.

ESCALA SIN FECHA: MARZO/90 FIGURA: 1.4

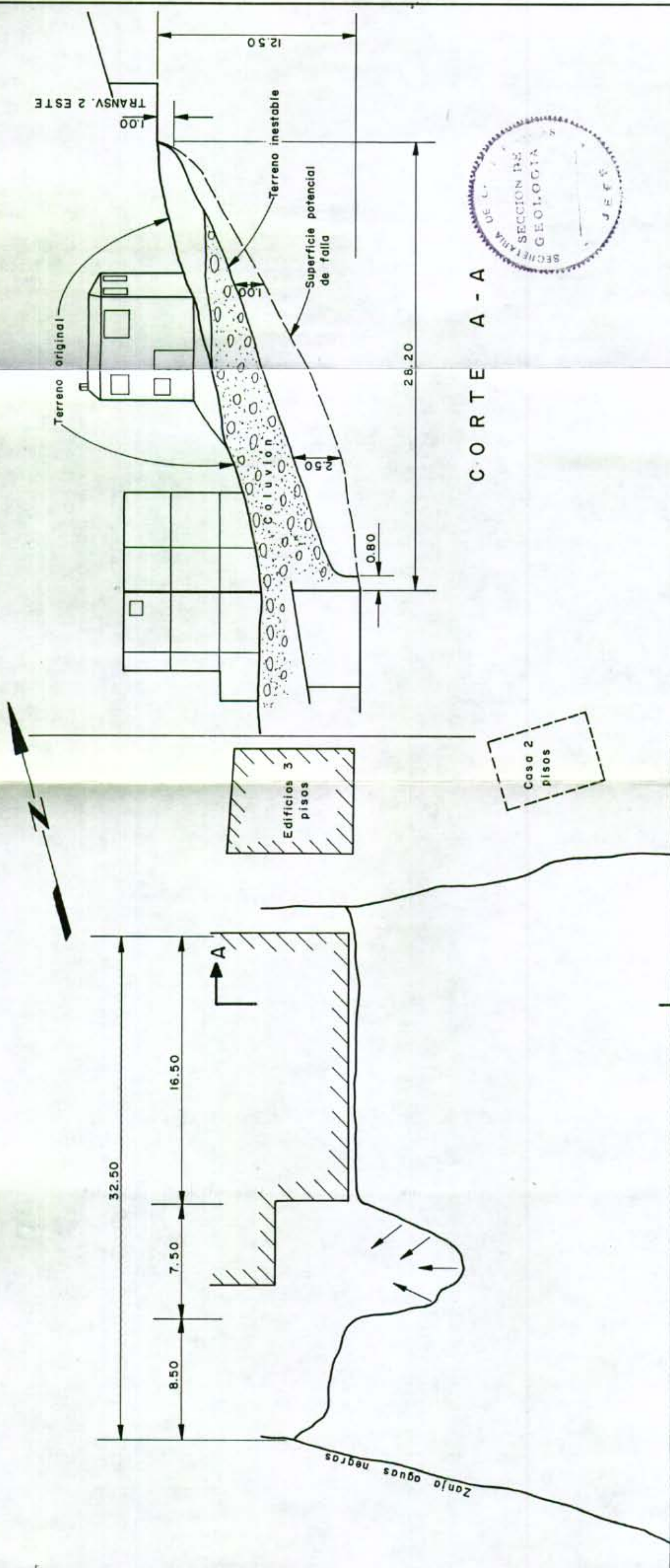
26



SECRETARIA DE OBRAS PUBLICAS DEL DISTRITO		
ESTUDIO GEOLOGICO Y GEOTECNICO BARRIO MARISCAL SUCRE - BOGOTA D. E.		
ING. JAIME D. BATEMAN DURAN		
SUBZONA 2		
DIBUJO: O.I.C.P.	REVISO: J.D.B.D.	APROBO: J.D.B.D.
ESCALA: SIN	FECHA: MARZO/90	FIGURA: 1.5

VISTA TRANSVERSAL 2 E N° 46-39

27



CORTE A - A

TRANSVERSAL 2 ESTE

PLANTA

SECRETARIA DE OBRAS PUBLICAS DEL DISTRITO			
ESTUDIO GEOLOGICO Y GEOTECNICO BARRIO MARISCAL SUCRE BOGOTA D.E.			
ING. JAIME D. BATEMAN DURAN			
SUBZONA - 3			
DIBUJO:	O.I. C.P.	REVISO:	J.D.B.D.
ESCALA:	SIN	FECHA:	MARZO/90
		APROBO:	J.D.B.D.
		FIGURA:	1.6

28

A N E X O N O 2
RECUENTO FOTOGRAFICO

29



FOTOGRAFIA No. 1

Vista de Norte a Sur. Se muestra la Subzona 1 (parte alta) y subzona 2 (parte inferior izquierda). El movimiento afecta una capa de suelo residual cuyo espesor varía entre 2.0 y 2.5 metros. La inclinación de los árboles más altos en el sentido de la pendiente del terreno evidencian el movimiento lento de estas capas superficiales. El área circundante de la casa del primer plano es estable.





Con A se indican los pilotes de madera colocados en la parte alta de la Subzona 1.

30

Calle 45

Subzona 2

FOTOGRAFIA No. 2

Detalle de la parte alta de la subzona 1. Los habitantes de las casas de la Transversal 2a Este arrojan sin ningún control agua de lavado sobre la ladera.

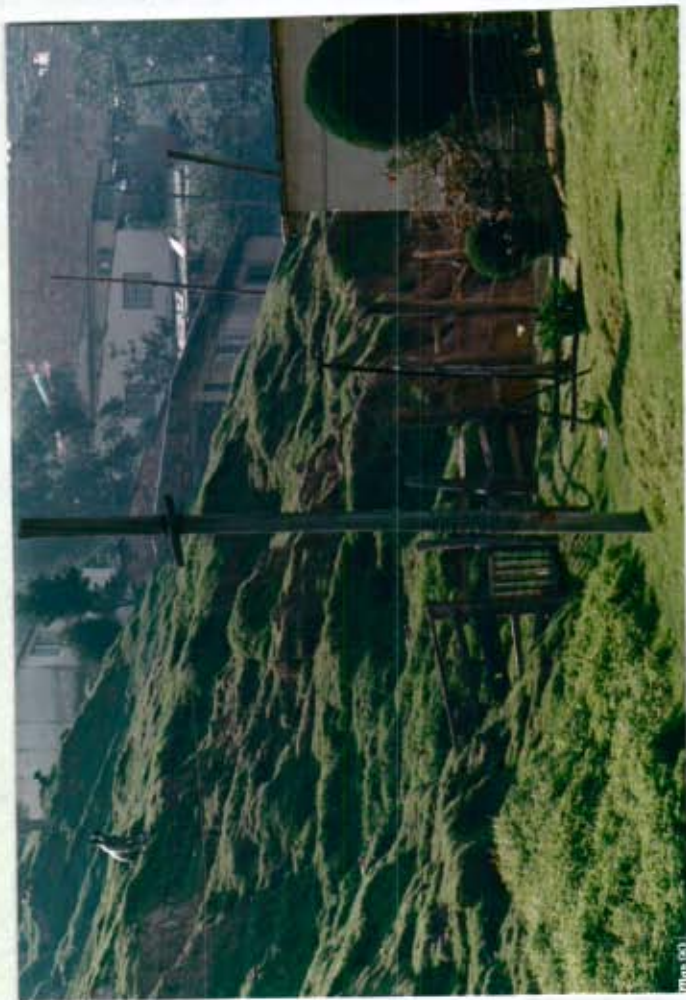
31



FOTOGRAFIA No. 3

Agrietamiento vertical del muro de cimentación de una casa abandonada en la parte alta del Barrio Mariscal Sucre. El movimiento lo origina un empuje en una masa de suelo residual de 2 a 3 m de espesor (Subzona 1).

32



FOTOGRAFÍAS Nos 4 y 5

Dos aspectos de la subzona 2 afectada por reptación de suelo de poca profundidad; vista hacia el sur.
La reptación está controlada por la presencia de niveles de arcillolita y arenisca.

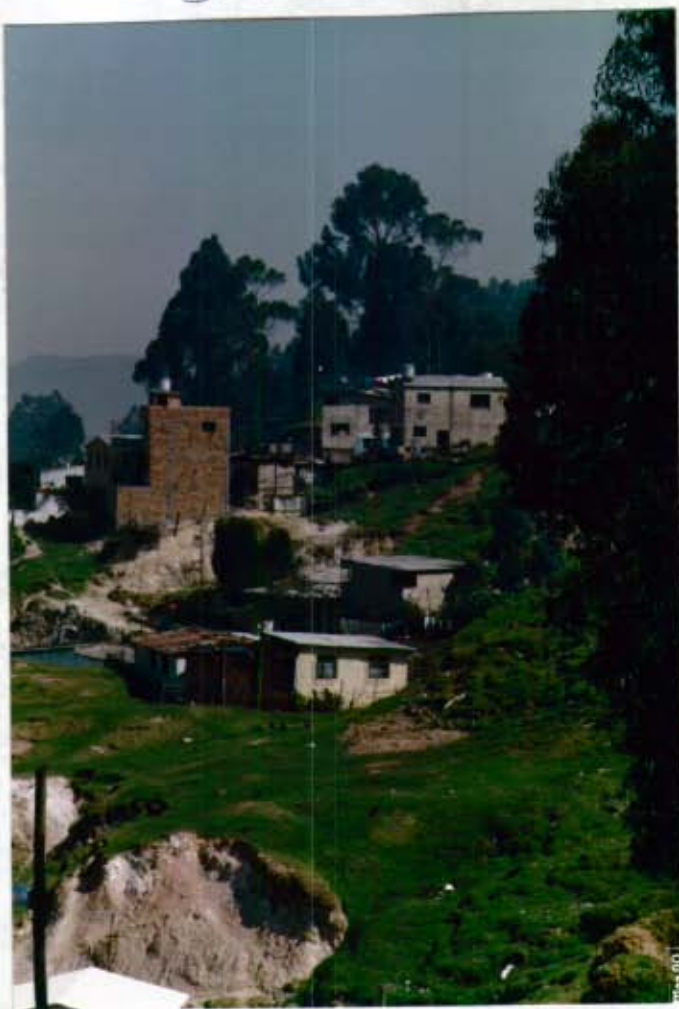
33



FOTOGRAFIA No. 6

Vista del extremo nororiental de la zona afectada por reptación de suelo poco profundo. El material expuesto a lo largo de la grieta originada por asentamiento es un suelo residual arcilloso. En la parte superior derecha se aprecia la Transversal 2a Este cuya vía se ha angostado por el mismo asentamiento diferencial (subzona 3) .

34



FOTOGRAFIA No. 7

Límite norte de la zona afectada por reptación in- exten-
so. Obsérvese que el fenómeno afecta el suelo residual
(Gsr) que aflora en la grieta de la parte central derecha
de la fotografía, en tanto que el depósito coluvial (Gcol)
tiene una estabilidad que ha permitido construir una edifi-
cación alta.

35



FOTOGRAFIA No. 8

Vista de la subzona 3 donde se aprecia el hundimiento que ha sufrido la Transversal 2a. Este; afloramiento de arenisca en la parte interior izquierda.

36



FOTOGRAFIA No. 9

Grieta en los muros de la casa en ruinas de la Transversal 2a Este con Calle 45, costado Nor-oriental. Este agrietamiento se ha originado recientemente y es indicio de la reptación continuada que afecta el terreno (subzona 4).



37

FOTOGRAFIA No. 10

Asentamiento de terreno cerca de la Transversal 3a Este con Calle 45, ocurrido dentro de un flujo de lodo. El asentamiento no ocurrió recientemente pero la reptación asociada a su desplazamiento ha originado daños y averías en varias casas aledañas.



FOTOGRAFIA No. 11

Sector de terreno inestabilizado al norte del gran colector (a la izquierda primer plano) en el Barrio Mariscal Sucre. La inestabilidad afecta un depósito coluvial que varía entre 1.0 y 4.0 m de espesor. Obsérvese a la izquierda un afloramiento de arenisca que controla la inestabilidad. (Sub-zona 5).

39

A N E X O No 3

TOPOGRAFIA

TOPOGRAFO: Jorge Mahecha Velez

CALCULISTA: O.I.C.F.P.

DIRIJANTE:

JAIME D. BATEMAN DURAN

Ingeniero Civil - M en I.

Barrio Mariscal Sucre

LEVANTAMIENTO DE:

HOJA No. 1 de 5

BOGOTA, D. E. Marzo de 1990

DE 19

40

ESTACION	AZIMUTH	RUMBO	DISTANCIA	PROYECCIONES				COORDENADAS CONHECIDAS				ESTACION		
				LATITUD		LONGITUD		N		E			M	
				N	S	Cor.	E	Cor.	W	Cor.	N	E	Cor.	
Δ 1											500 00	500 00		Δ 1
Δ 2	134° 09'		16 70	1 28	11 63		11 78				488 37	511 99		Δ 2
1	293° 13'		3 18						2 91		501 28	477 09		1
2	15° 21'		6 60	4 67			4 72				504 67	504 72		2
3	139° 17'		11 92		9 03		7 63				490 97	502 63		3
4	138° 59'		9 47		7 15		6 21				492 85	506 21		4
5	113° 12'		3 47		2 78		2 08				492 22	502 08		5
Δ 2											488 37	511 99		Δ 2
Δ 3	216° 52'		20 50		16 38				12 32		471 99	499 66		Δ 3
Δ 4	141° 30'		39 57		20 72		24 63				452 40	522 51		Δ 4
6	238° 16'		15 83		8 33				13 46		480 04	498 72		6
7	518° 40'		14 96		11 68				9 35		426 69	502 63		7
8	37° 10'		8 08	6 44			4 82				494 81	516 85		8
9	38° 35'		11 81	9 23			7 32				492 60	519 35		9
Δ 3											471 99	479 66		Δ 3
Δ 4	111° 32' 24"		39 73		14 59		16 95				452 10	522 51		Δ 4
10	205° 17' 20"		2 50		2 26				1 07		469 73	498 59		10
11	228° 42' 30"		12 49		8 24				9 38		463 75	490 29		11
12	253° 49' 50"		20 98		5 84				20 15		466 15	479 51		12
13	245° 07' 50"		11 46		4 82				10 40		467 17	489 26		13
14	21° 31'		1 99	1 85			0 73				472 94	500 30		14
15	49° 15'		8 63	5 63			6 57				472 62	506 82		15
Δ 4											457 10	536 61		Δ 4
Δ 5	291° 33'		24 73	14 59					36 95		471 99	482 66		Δ 5
Δ 5	222° 25' 50"		21 57	19 17					11 98		476 87	521 63		Δ 5

TOPOGRAFO: Jorge Mahecha Velez

HOJA No. 2 de 5

157

CALCULISTA: O.i.c.p.

JAIME D. BATEMAN DURAN

Ingeniero Civil - M. en I.

Barrio Mariscal Sucre

BOGOTA, D. E. Marzo de 1990

DE 19

LEVANTAMIENTO DE:

ESTACION	AZIMUTH	RUMBO	DISTANCIA	PROYECCIONES						COORDENADAS CORREGIDAS			ESTACION	
				LATITUD		LONGITUD		S	E	W	Cor.	N		E
				N	Cor.	S	Cor.							
64	12°37'49"		42.74	41.71				9.35				452.40	536.61	64
66												499.11	545.96	66
65	227°34'06"		32.76		22.24					24.33		476.97	521.63	65
16	352°07'		5.20	5.15						0.71		504.26	545.25	16
17	21°44'		12.03	11.12			4.45					510.29	541.06	17
18	325°09'		12.29	10.08						7.02		509.19	538.94	18
65												476.97	521.63	65
64	142°25'		24.57		19.47		14.99					457.40	536.62	64
00	214°40'		34.23		28.15					19.47		448.72	502.10	00
66	26°19'06"		106.00	95.01			46.50					499.11	545.96	66
67			82.00	20.26			38.25					584.12	592.46	67
68	28°33'43"											664.38	630.71	68
69	167°15'		20.75		49.49		11.20					614.89	641.91	69
19	288°01'40"		32.05	11.47						35.23		575.85	595.43	19
20	300°53'10"		16.07	23.65						29.54		688.03	551.12	20
21	302°06'30"		35.20	18.70						29.83		682.00	602.41	21
22	314°08'10"		28.58	19.90						20.51		651.29	610.20	22
23	338°45'		19.72	18.57						7.22		682.95	634.69	23
24	155°25'		14.50		10.50		4.68					653.89	646.59	24
25	157°57'		9.63		8.92		3.62					655.45	643.53	25
BM#1	137°32'		5.65		4.17		3.81					640.21	645.72	BM#1

41

TOPOGRAFO: Jorge Mahecha Velez

HOJA No. 3 de 5

CALCULISTA: O.I.C.P.

JAIME D. BATEMAN DURAN
Ingeniero Civil - M. en I.

BOGOTA, D. E. MARZO 90

LEVANTAMIENTO DE: Barrio Mariscal Sucre

DE 19

ESTACION	AZIMUTH	RUMBO	DISTANCIA	PROYECCIONES			LONGITUD			COORDENADAS CORREGIDAS			ESTACION
				N	S	Cor.	E	Cor.	W	Cor.	N	E	
Δ GA													Δ GA
43	107°47'		14 05'		4 29		13 38				503 45	583 62	
44	116°13'		20 35'	8 99			18 26				503 76	597 00	43
45	162°14'		11 46'	10 91			3 50				498 46	601 93	44
46	170°16'		15 81'	15 58			2 67				496 54	587 12	45
47	165°09'		6 50'	6 28			1 67				491 87	586 29	46
48	234°24'		7 35'	3 85					6 26		501 17	575 29	47
49	247°52'		11 97'	4 51					11 09		503 60	577 36	48
50	243°03'		12 28'	5 57					10 95		502 94	572 53	49
Pot-1	108°53'40"		30 00'	9 71			28 39				501 8'	572 67	50
Δ 7 B	349°32'50"		14 15'								497 74	612 00	Pot-1
Δ 7 C	182°34'50"		7 62'						2 57		511 62	609 43	Δ 7 B
51	301°22'		13 06'	7 61			0 34				490 13	612 34	Δ 7 C
52	315°50'		15 15'						11 15		504 54	600 85	51
53	336°13'		10 46'						10 54		508 63	601 46	52
54	0°09'		22 16'						4 22		502 31	607 78	53
55	27°43'		13 97'								519 90	612 06	54
56	32°59'		8 77'				0 06				510 11	618 50	55
57	66°15'		14 24'				6 50				505 10	616 77	56
58	55°40'		2 54'				4 77				503 48	625 02	57
59	179°22'		13 50'				13 03				499 17	614 10	58
60	183°27'		18 39'	13 49			2 10				484 25	612 37	59
61	225°49'		15 65'	18 36			0 38			1 11	479 39	610 89	60
62	242°06'		11 19'	10 91					11 22		486 83	600 79	61
				5 24					9 89		492 50	602 11	62

42

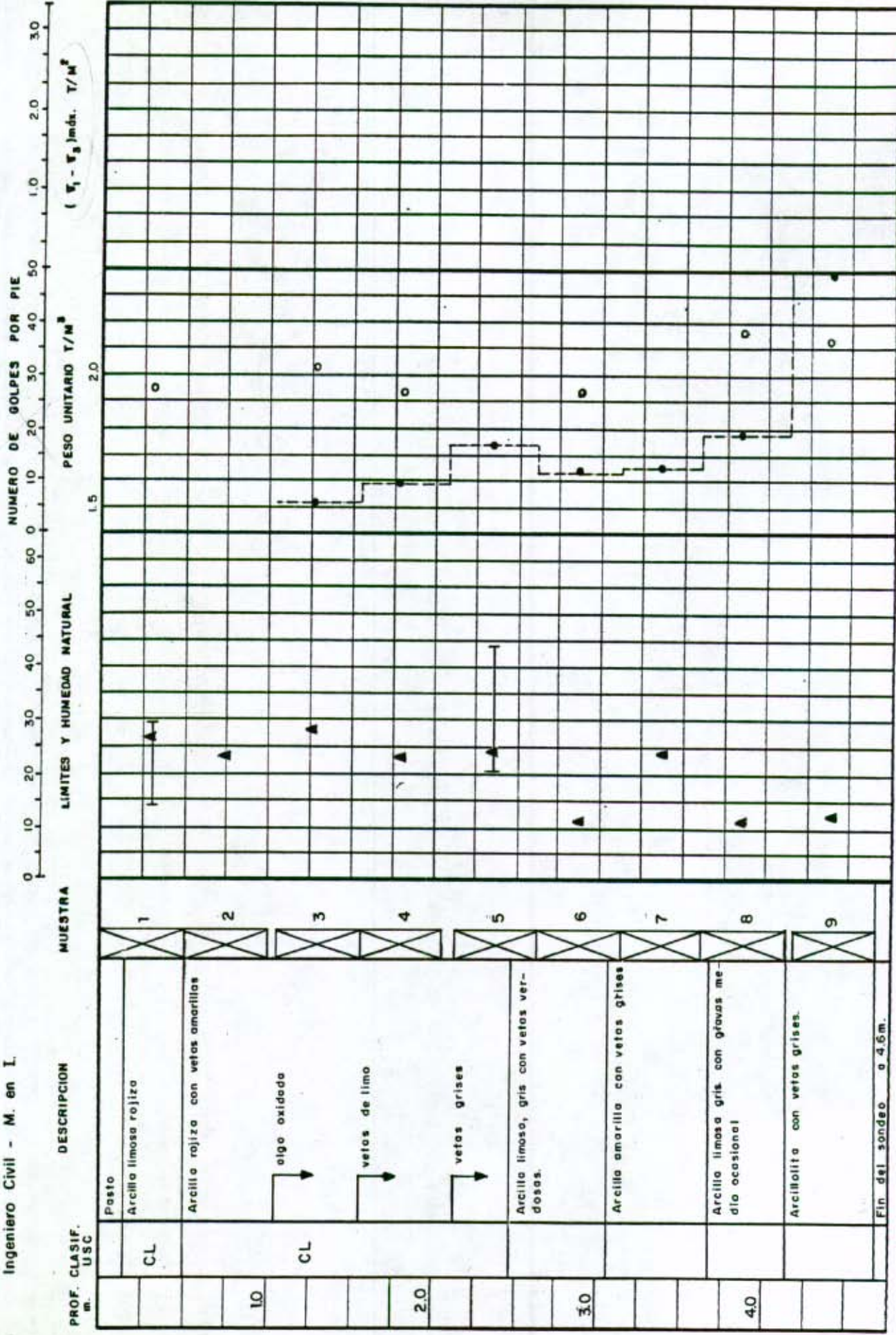
45

A N E X O No 4
INVESTIGACION DEL SUBSUELO

JAIME D. BATEMAN DURAN
Ingeniero Civil - M. en I.

INVESTIGACION DEL SUBSUELO

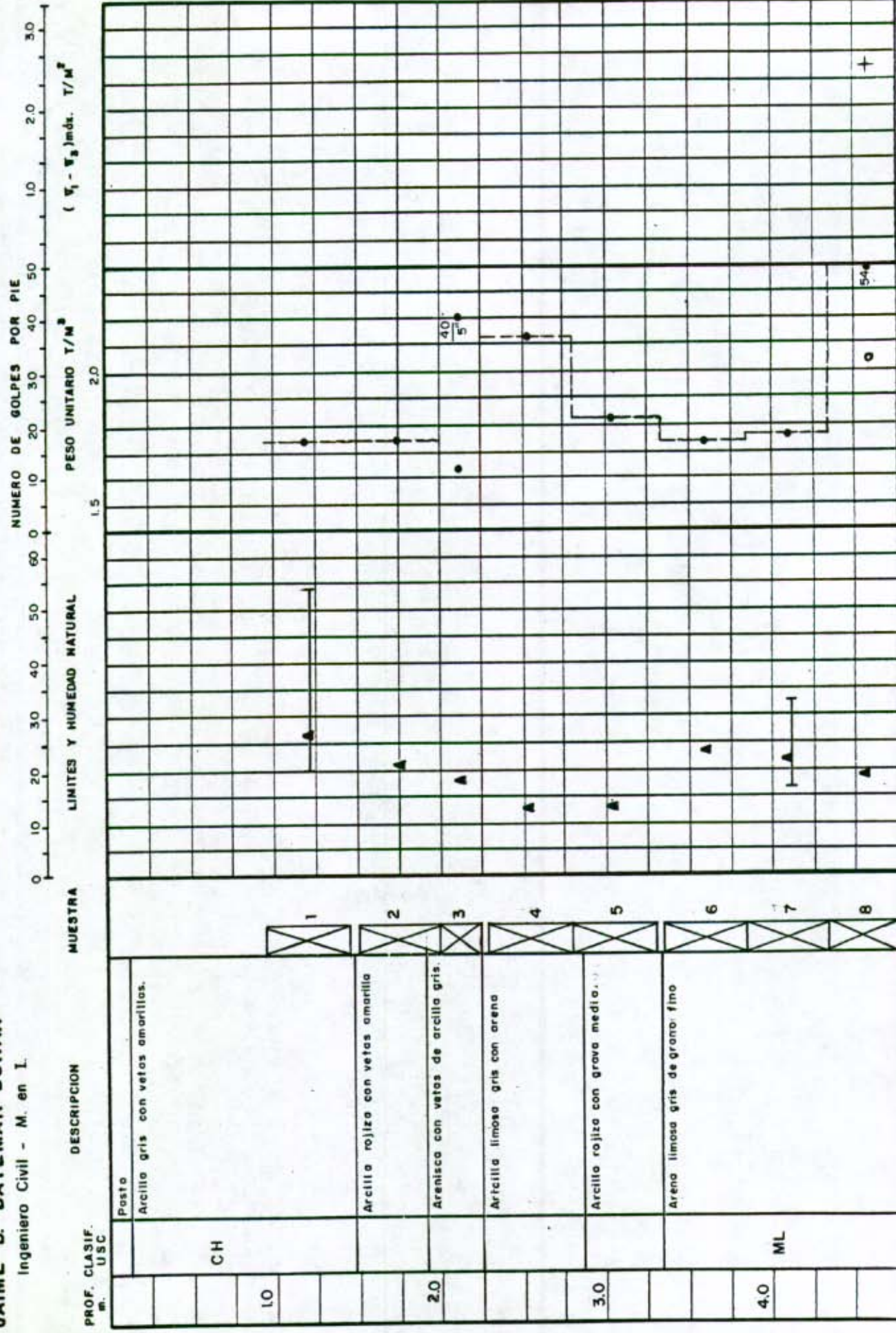
TRABAJO No. 310 NOMBRE MARISCAL SUCRE LOCALIZACION Véase figura N°2 SONDEO No. 1
COORDENADAS COTA FECHA Febrero/90 FIGURA 4.1



JAIME D. BATEMAN DURAN
Ingeniero Civil - M. en I.

INVESTIGACION DEL SUBSUELO

TRABAJO No. 310 NOMBRE MARISCAL SUCRE LOCALIZACION Véase figura N°2 SONDEO No. 2
COORDENADAS COTA FECHA Febrero /90 FIGURA 4.2



JAIME D. BATEMAN DURAN

Ingeniero Civil - M. en I.

INVESTIGACION DEL SUBSUELO

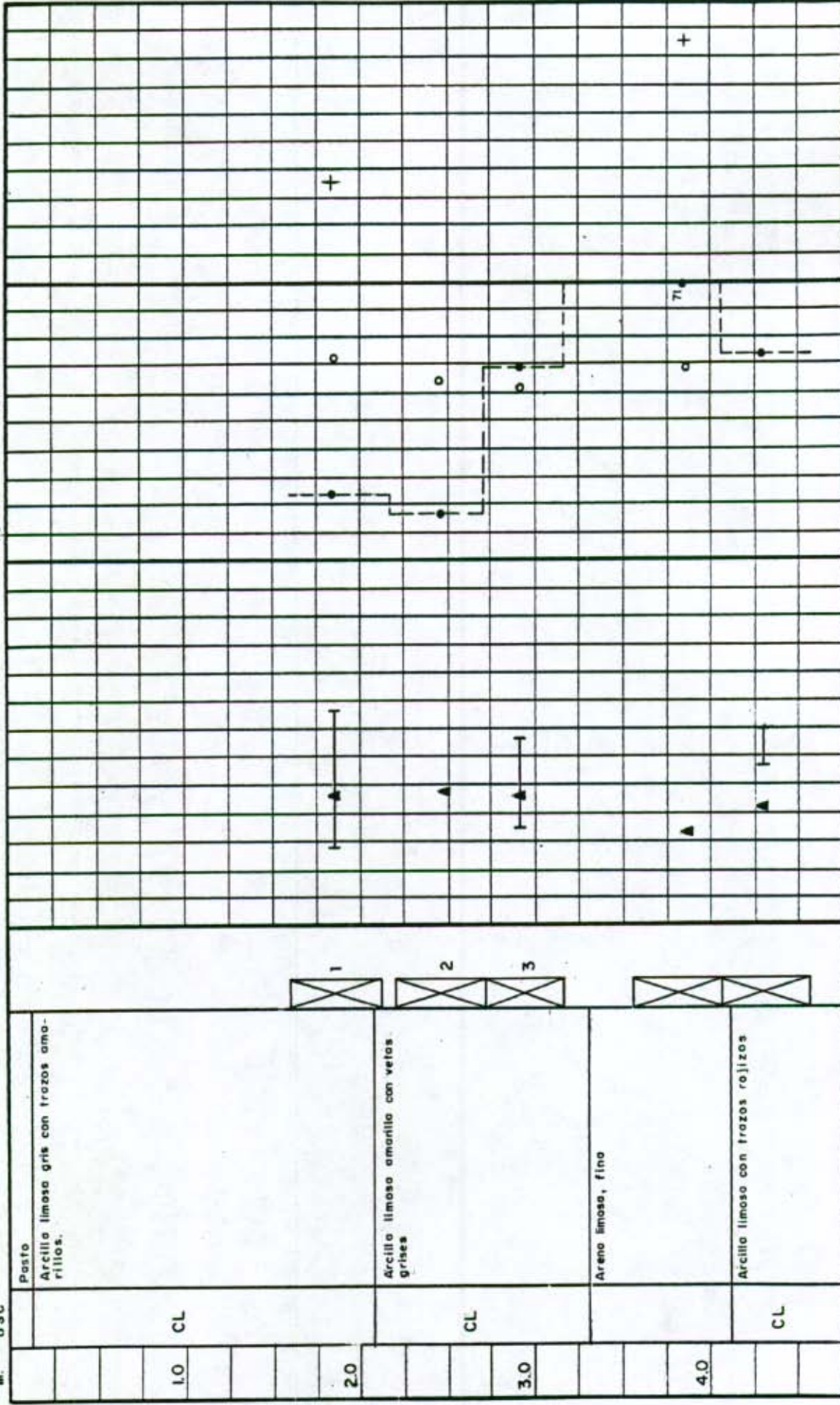
TRABAJO No. 310 NOMBRE MARISCAL SUCRE LOCALIZACION Véase figura N° 2 SONDEO No. 3
 COORDENADAS COTA FECHA Marzo /90 FIGURA 4.3

NUMERO DE GOLPES POR PIE PESO UNITARIO T/M³ ($\gamma_1 - \gamma_3$) máx. T/M³

MUESTRA

DESCRIPCION

PROF. CLASIF.
m. USC



JAIME D. BATEMAN DURAN

Ingeniero Civil - M. en I.

INVESTIGACION DEL SUBSUELO

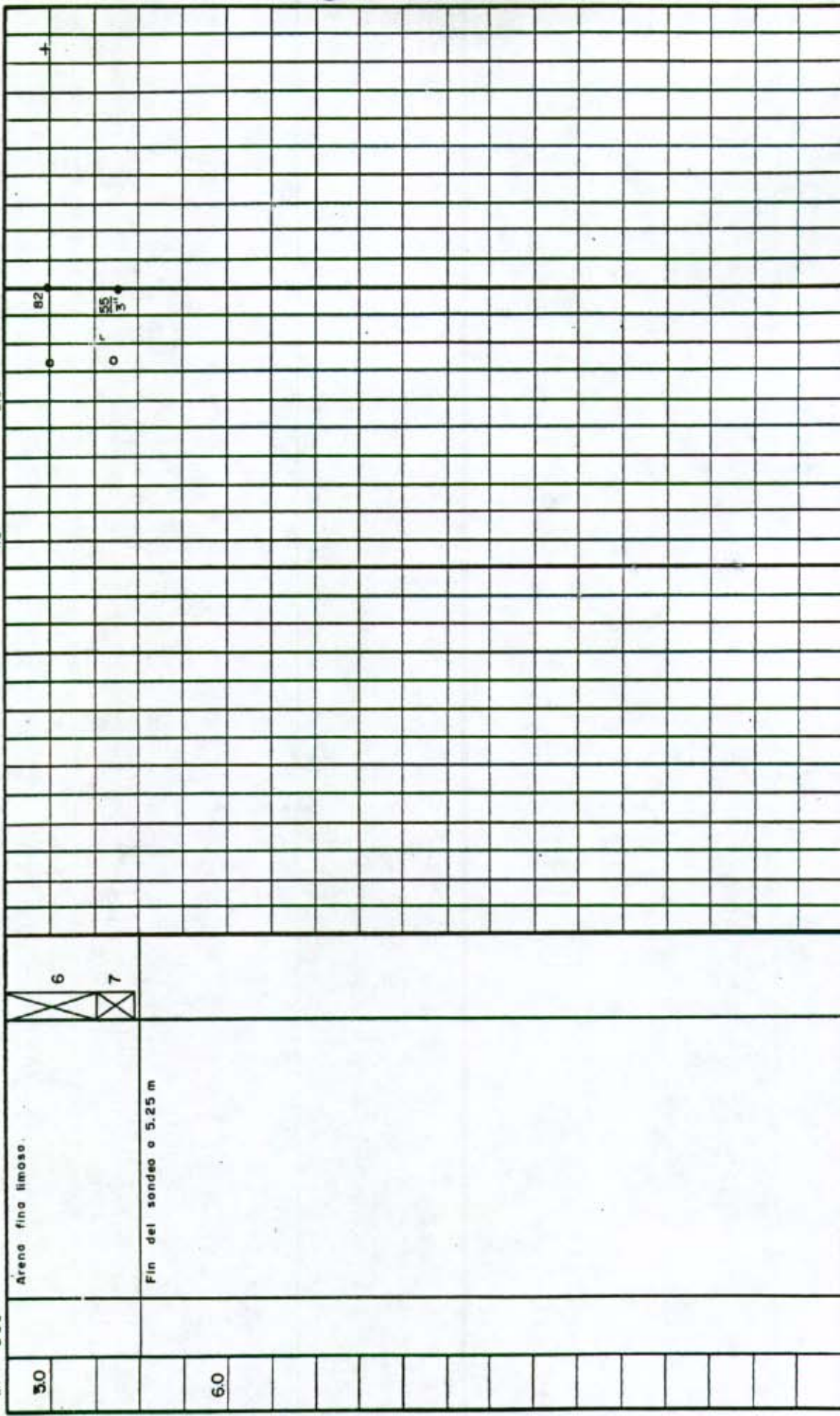
TRABAJO N° 310 NOMBRE MARISCAL SUCRE LOCALIZACION _____ COTA _____ SONDEO N° 3
COORDENADAS _____ FECHA Marzo / 90 FIGURA 4.3
(Hojo II)

NUMERO DE GOLPES POR PIE _____ PESO UNITARIO T/M³ _____ ($\gamma_1 - \gamma_3$) máx. T/M³ _____

MUESTRA

DESCRIPCION

PROF. CLASIF.
m. USC



JAIME D. BATEMAN DURAN

Ingeniero Civil - M. en I.

INVESTIGACION DEL SUBSUELO

TRABAJO No. 310 NOMBRE MARISCAL SUCRE LOCALIZACION Véase figura 2 SONDEO No. 4
COORDENADAS COTA FECHA Marzo/90 FIGURA 4.4

% PASA TAMIZ N° 200 NUMERO DE GOLPES POR PIE

PESO UNITARIO T/M³

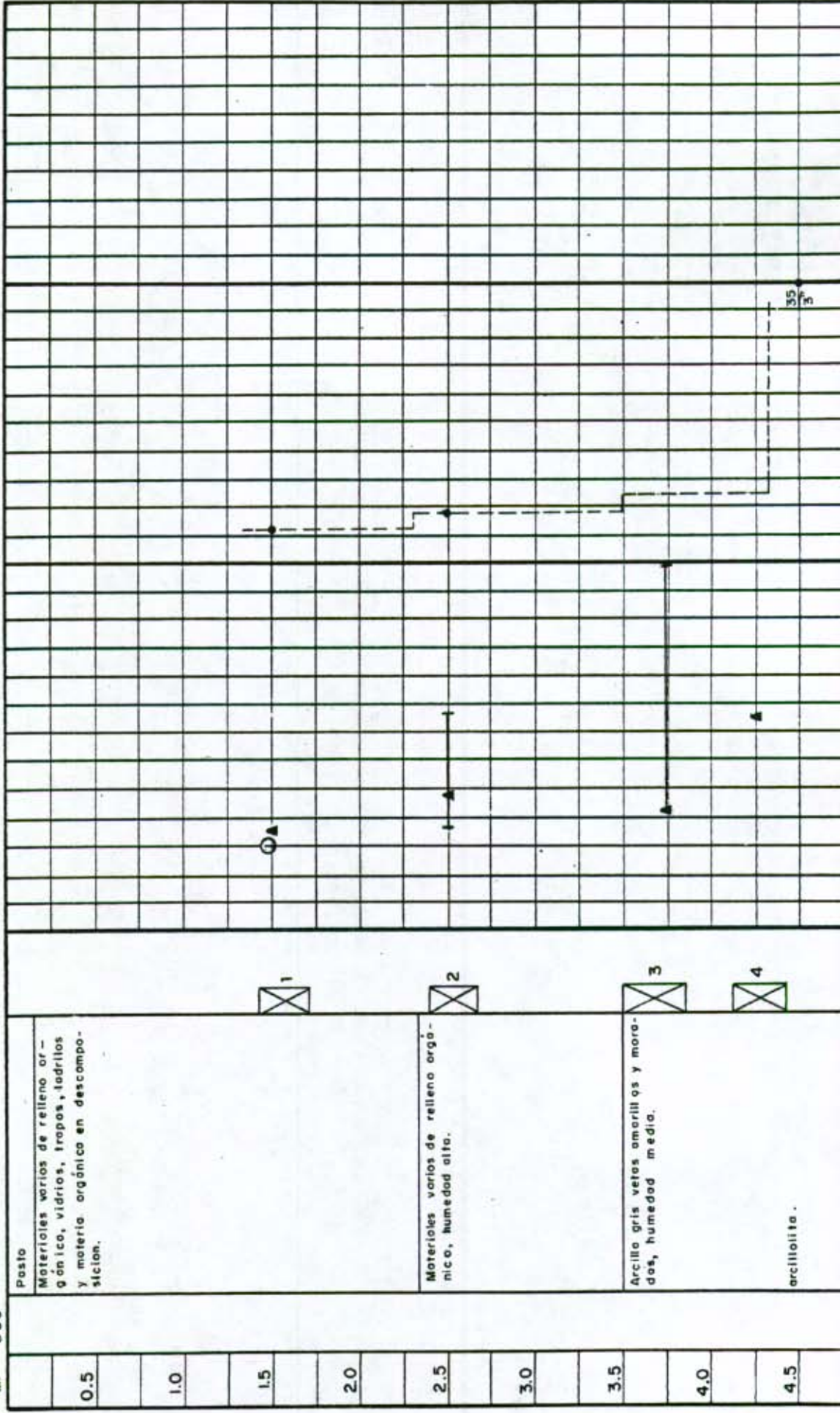
($\gamma_1 - \gamma_s$) máx. T/M³

MUESTRA

LIMITES Y HUMEDAD NATURAL

DESCRIPCION

PROF. CLASIF.
m. USC



JAIME D. BATEMAN DURAN
Ingeniero Civil - M. en I.

INVESTIGACION DEL SUBSUELO

NOMBRE DEL PROYECTO MARISCAL SUCRE Fecha: Marzo /90 Figura No 4.5

APIQUE No 1
COTA: 2710.80

APIQUE No 2
COTA: 2726.00

SUPERFICIE DEL TERRENO	MUESTRA		DESCRIPCION
	No	Prof. Simb.	
	1		Pasto Arcilla limosa gris con vetas rojizas
1.0	2		Arcillolito meteorizado con vetas de arcilla gris.
2.0	3		
3.0	4		Areno limoso fino.
4.0			Arcilla limosa amarilla con presencia de areniscos
5.0			Arcillolito con areniscos
			Fin del apique a 5.00 m.

53

No	MUESTRA		DESCRIPCION
	Prof. Simb.		
1		Pasto	Arcilla limosa rojiza con raíces
2			Arcillolito meteorizado con algo de arenisco fino.
3			Arcilla limosa amarilla con algo de areno fino.
4			Arcillolito con algo de areno fino.
			Fin del apique a 3.00 m.

JAIME D. BATEMAN DURAN
Ingeniero Civil - M. en I.

INVESTIGACION DEL SUBSUELO

NOMBRE DEL PROYECTO MARISCAL SUCRE

Fecha: Marzo / 90

Figura No 4.6

APIQUE No 3
COTA: 2708.00

APIQUE No 4
COTA: 2717.00

SUPERFICIE DEL TERRENO	MUESTRA		DESCRIPCION
	No	Prof Simb.	
			Pasto
			Arcilla limosa rojiza con vetas amarillentas.
10			↓ con arcillolito meteorizado.
20			Arcillolito con algo de arenisca.
3.0			Fin del oplique a 3.00 m
4			
5			

SUPERFICIE DEL TERRENO	MUESTRA		DESCRIPCION
	No	Prof Simb.	
			Pasto
			Arcilla limosa rojiza con vetas amarillentas.
1			Arcilla limosa cafe clara con vetas rojizas.
2			Arcillolito con vetas amarillentas
3			Fin del oplique a 2.50 m.

JAIME D. BATEMAN DURAN
Ingeniero Civil - M. en I.

INVESTIGACION DEL SUBSUELO

NOMBRE DEL PROYECTO MARISCAL SUCRE

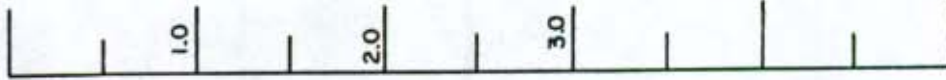
Fecha: Marzo / 90

Figura No 4.7

APIQUE No 5
COTA : 2714.00

APIQUE No 6
COTA: 2731.00

SUPERFICIE
DEL TERRENO



PROFUNDIDAD EN METROS

MUESTRA		DESCRIPCION
No	Prof. Simb.	
1		Pasto Arcilla limosa rojizo con trazos grises.
2		Arcilla limosa café claro con arcillolita meteorizada.
3		Arcillolita con trazos amarillos.
		Fin del apique a 3.00 m.

55

MUESTRA		DESCRIPCION
No	Prof. Simb.	
1		Pasto Arcilla limosa rojizo con vetas carmelitas
2		Arcillolita meteorizada con vetas amarillos
3		con limos arenosos
4		dura con trazos gris
		Fin del opique a 2.50m.

JAIME D. BATEMAN DURAN
Ingeniero Civil - M. en I.

INVESTIGACION DEL SUBSUELO

NOMBRE DEL PROYECTO MARISCAL SUCRE

Fecha: Marzo / 90

Figura No 4.8

APIQUE No 7

APIQUE No 8

COTA:

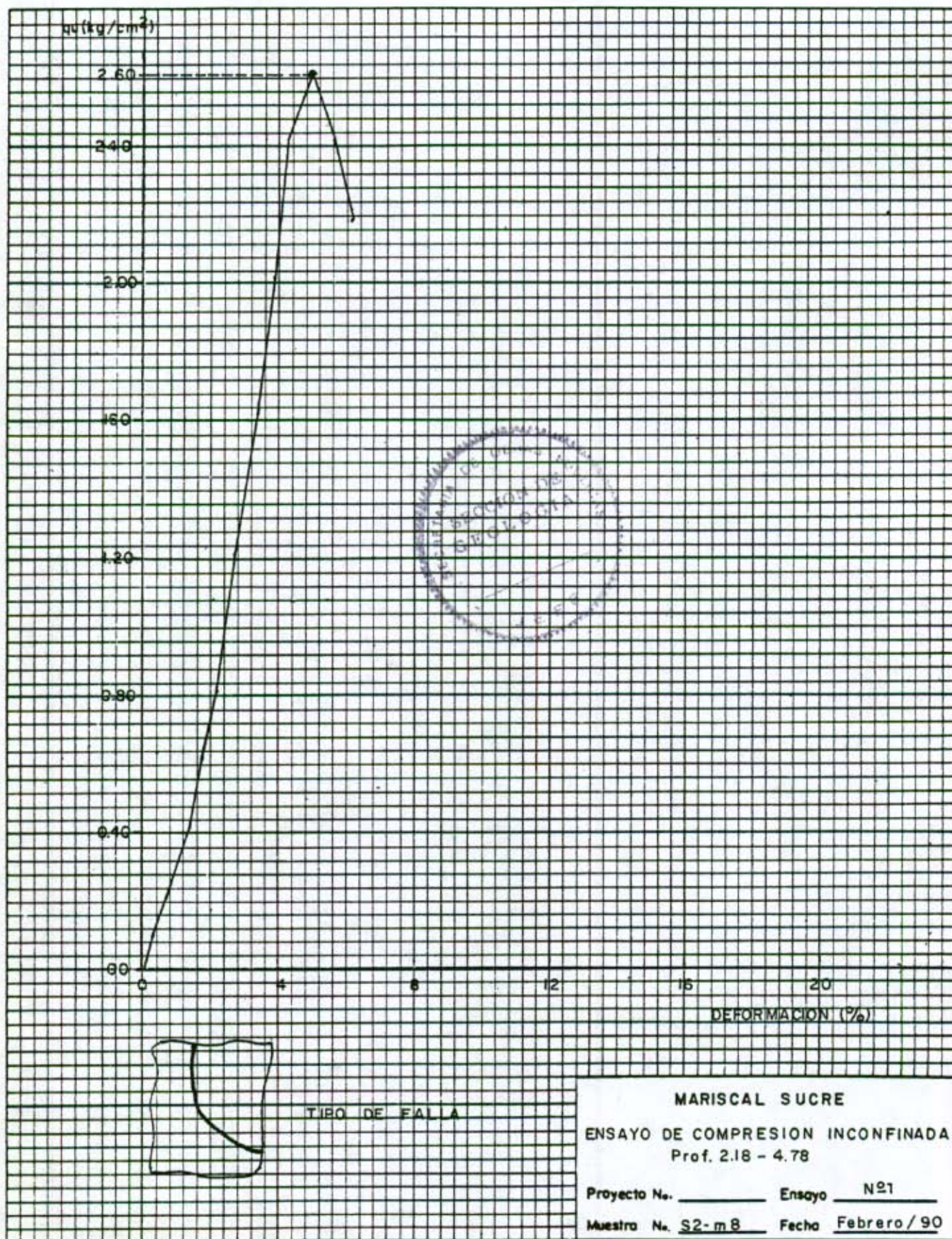
COTA:

SUPERFICIE DEL TERRENO	MUESTRA		DESCRIPCION
	No	Prof. Simb.	
1.00			Pasto Materiales varios de relleno bastante orgánico, suelta.
2.00			Arcilla limosa gris amarilla vetas rojizas, quebradizo humedad media.
3.00			Arcilla limosa amarilla, vetas grises, humedad alta
4.00			Arcilla limosa rojiza, humedad alta
			Fin del opeque a 3.80 m.

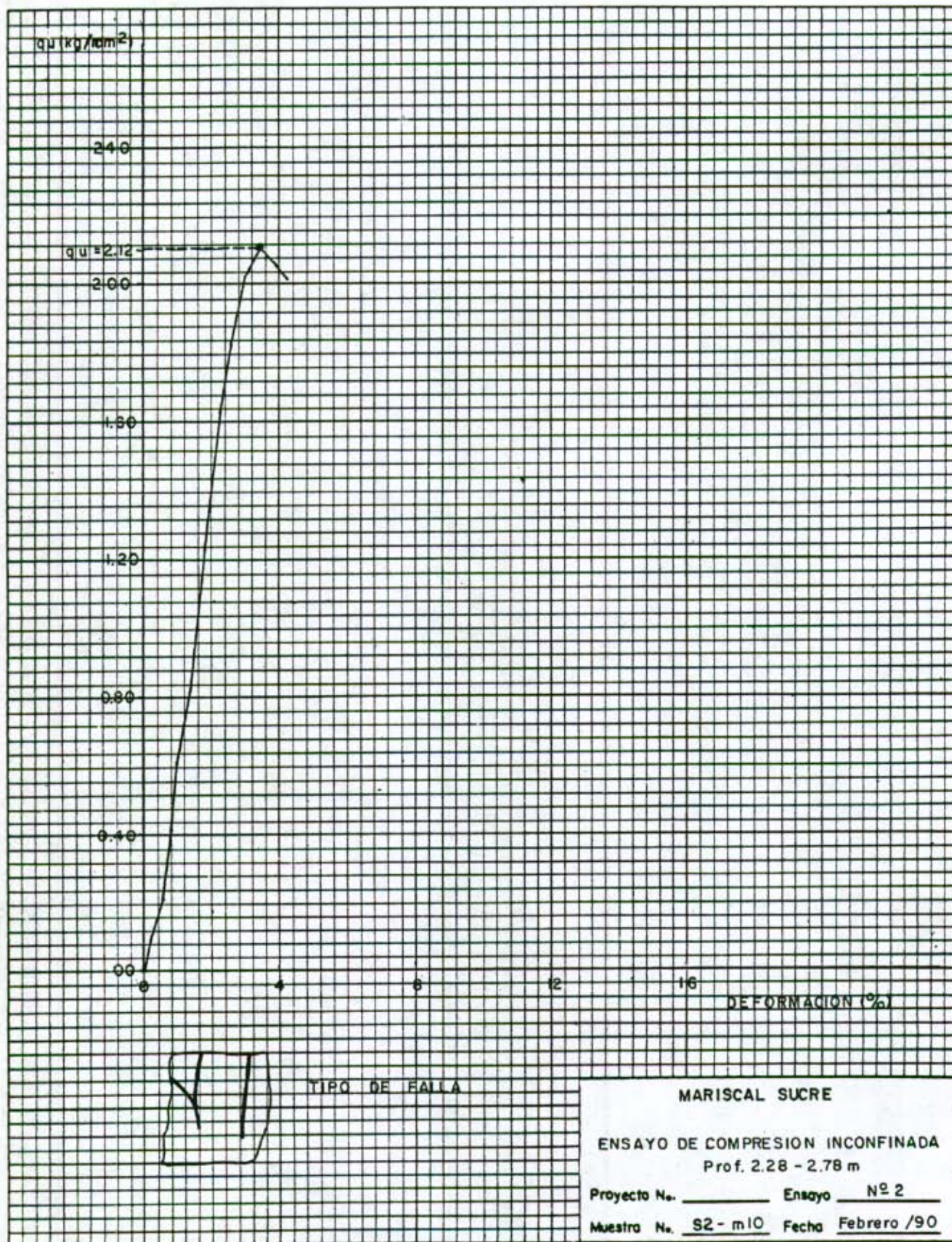
56

MUESTRA	DESCRIPCION
	grava arenosa, fisurada por raíces.
	Arcilla limosa orgánica, carmelita, vetas rojizas, fisurada por raíces
	Arcilla limosa amarilla, vetas grises, con raíces, humedad alta
	Arcilla orgánica carmelita oscura, con raíces, humedad alta.
	Arcilla limosa amarilla, gruesa, humedad media a alta
	Arcilla orgánica gris azulado, vetas negras, humedad alta.
	Arcilla amarilla, vetas grises, humedad alta.
	Arcilla rojiza vetas grises, humedad media
	Fin del opeque a 3.50 m.

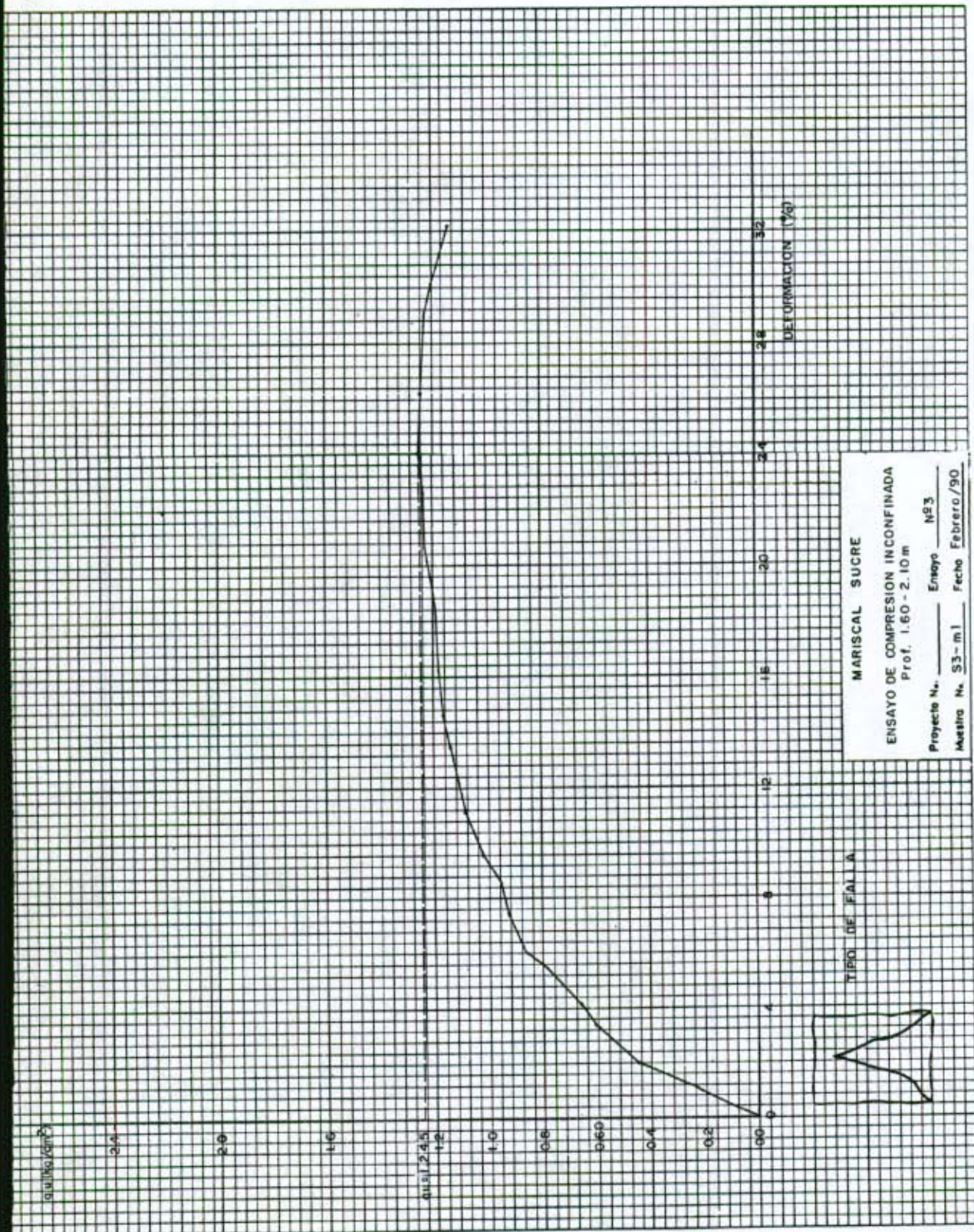
57



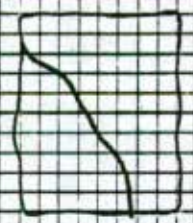
58



59



60



TIPO DE FALLA

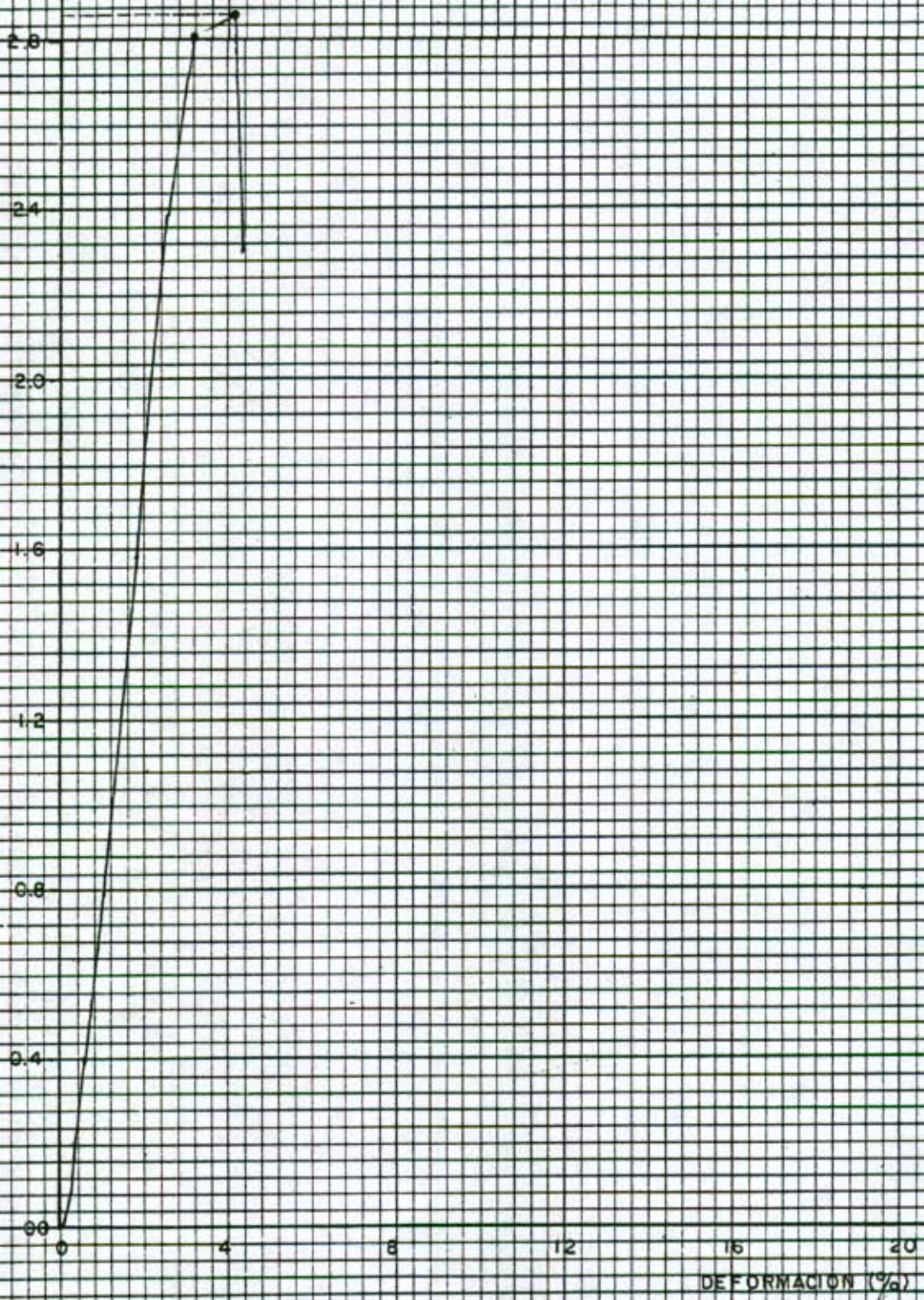
MARISCAL SUCRE

ENSAYO DE COMPRESION INCONFINADA
Prof. 3.60-4.10 m

Proyecto No. _____ Ensayo Nº4
Muestra No. S3-m4 Fecha Febrero/90

61

q_u (kg/m²)



TIPO DE FALLA

MARISCAL SUCRE

ENSAYO DE COMPRESION INCONFINADA
Prof. 4.60 - 5.10m

Proyecto No. _____ Ensayo Nº 5

Muestra No. S3-m6 Fecha Febrero/90

JAIMÉ D. BATEMAN DURAN

Ingeniero Civil - M. en I.

TABLA DE RESULTADOS

NOMBRE DEL PROYECTO: MARISCAL SUCRE

Fecha: FEBRERO 1990

Tabla No. 3

Sondeo o Apique ⁺ No	3	3	3	3	3	3	3	3	3	1*	1*	1*	1*
Muestra No	2	3	3	4	5	6	7	Idem	Idem	1	2	3	4
DESCRIPCION	Arcilla limosa amarilla veta gris	Idem	Arcilla limosa fina.	Arcilla limosa con trazos rojos	Idem								
Profundidad (m.)	2,1-2,6	2,6-3,1	3,6-4,1	4,1-4,6	4,6-5,1	5,1-5,18	0,5	1,0	1,6	2,3	2,3	2,3	2,3
Humedad natural, ω_n , (%)	24,3	23,0	17,0	21,4	17,2	15,8	16,5	20,2	11,1	23,4	23,4	23,4	23,4
Límite líquido, ω_L , (%)		33		35				35		36	36	36	36
Índice de plasticidad, I_p , (%)		16		17				19		19	19	19	19
Límite de contracción, μ_c , (%)													
Expansión libre probeta (%)													
T													
T													
T # 4													
T # 10													
T # 40													
T # 200			38,7								99		
Clasificación USC.				CL							CL		CL
Peso unitario, γ , ton/m ³	2,048	2,006	2,09			2,116							
Resistencia penetrómetro manual Kg/cm ²													
Resistencia a la compresión confinada, q_u (Kg/cm ²)			2,8			2,87							
Densidad relativa %													

64

JAIMÉ D. BATEMAN DURAN

Ingeniero Civil - M. en I.

TABLA DE RESULTADOS

Fecha: FEBRERO 1990 Tabla No. 4

NOMBRE DEL PROYECTO: MARISCAL SUCRE

Sondeo o Apique* No	2*	2*	2*	2*	3*	4*	4*	4*	5*	5*
Muestra No	1	2	3	4	1	1	2	3	1	2
DESCRIPCION	Arcilla limosa rojiza con faices.	Arcillo-lita teorizada y arenis.	Arcilla limosa amarilla.	Arcillo-lita con algo de arena.	Arcilla limosa rojiza	Idem	Arcilla limosa cafe claro con vetas rojizas	Arcillo-lita con vetas amarillas	Arcilla limosa rojiza y gris	Arcilla limosa cafe claro.
Profundidad (m.)	0,0-0,4	0,4-0,8	1,2-1,7	1,8	0,5-0,7	0,0-0,5	0,5-1,0	1,7	1,4	1,8
Humedad natural, ω_n , (%)	19.1	8,2	9,4	8,5	20,8	25,4	25,2	16,3	5,6	9,1
Límite líquido, ω_L , (%)		39		29	42		39	45	37	41
Índice de plasticidad, I_p , (%)		23		15	25		20	24	20	22
Límite de contracción, μ_c , (%)										
Expansión libre probeta (%)										
T										
T										
T #4										
T #10										
T #40										
T #200										
GRANULOMETRIA										
% PASA										
Clasificación U.S.C.				CL	CL		CL	CL	CL	CL
Peso unitario, γ , ton/m ³						1,789				2,261
Resistencia penetrómetro manual Kg/cm ²										
Resistencia a la compresión confinada, q_u (Kg/cm ²)										
Densidad relativa %										

05

JAIMÉ D. BATEMAN DURAN

Ingeniero Civil - M. en I.

TABLA DE RESULTADOS

NOMBRE DEL PROYECTO: MARISCAL SUCRE

Fecha: FEBRERO 1990

Tabla No. 5

Sondeo o Apique* No	5*	6*	6*	6*	6*	7*	7*	7*	7*	7*	8*	8*
Muestra No	3	1	2	4	4	1	2	3	4	1	1	2
DESCRIPCION	Arcillo-limosa con amarillo.	Arcilla limosa rojiza y vetas cafe.	Arcillo-limosa teorizada	Idem	Materiales varios de relleno	arcilla limosa con vetas	Arcilla limosa amarilla	arcilla limosa rojiza	arcilla limosa arenosa	arcilla limosa arenosa	arcilla limosa arenosa	arcilla limosa arenosa
Profundidad (m.)	1,8	0,5	0,7	1,8	0 - 1,50	1,5 - 2,40	2,40 - 2,70	2,7 - 3,0	0 - 0,40	0 - 0,40	0,4 - 0,76	
Humedad natural, ω_n , (%)	11,7	20,0	22,4	12,5	47,3	19,9	25,6	25,7	11,7	11,7	32,0	
Límite líquido, ω_L , (%)	30	32	45	32		47,0						
Índice de plasticidad, I_p , (%)	13	13	24	16		30,0						
Límite de contracción, μ_c , (%)												
Expansión libre probeta (%)												
GRANULOMETRIA	T											
	T											
	T #4											
	T #10											
	T #40											
% PASA												
T #200				75,1					35,6			
Clasificación U.S.C.		CI					CH-MH				CH-MH	
Peso unitario, γ , ton/m ³												
Resistencia penetrómetro manual Kg/cm ²												
Resistencia a la compresión confinada, q_u (Kg/cm ²)												
Densidad relativa %												
Materia orgánica (%)										1,0		1,7

66

JAIME D. BATEMAN DURAN

Ingeniero Civil - M. en I.

TABLA DE RESULTADOS

NOMBRE DEL PROYECTO: MARISCAL SUCRE

MARZO 1990

Fecha: _____ Tabla No. 6

Sondeo o Apique* No	8*	8*	8*	8*	8*	8*	8*	8*	8*	8*	4	4	4	4
Muestra No	3	4	5	6	7	8	1	2	3	4	IDEM	3	4	4
DESCRIPCION	Arcilla limosa amarilla	arcilla orgánica carmelita fisurada	arcilla limosa amarilla. Grumosa	Arcilla orgánica gris	Arcilla amarilla vetas grises	Arcilla rojiza vetas grises	Relleno organico	IDEM	Arcilla gris con vetas	Arcilla				arcilla firme (arcillo-lita).
Profundidad (m.)	0.7 1.1	1.1-1.5	1.5-1.9	1.9-2.2	2.2-2.7	2.7-3.5	0.0 -2.3	2.3- 3.5	3.5-4.0	4.0-4.55				
Humedad natural, ω_n , (%)	32.0	33.4	38.4	29.0	36.9	11.4	17.4	24.5	21.4	36.7				
Límite líquido, ω_L , (%)				47.0	55.0			38.0	65.0					
Índice de plasticidad, I_p , (%)				25.0	33.0			20.0	44.0					
Límite de contracción, Δc_1 , (%)														
Expansión libre probeta (%)														
T														
T														
GRANULOMETRIA														
T #4														
T #10														
T #40														
T #200				71.6			15.2							
Clasificación U.S.C.		CH			CH								CH	
Peso unitario, γ , ton/m ³														
Resistencia penetrómetro manual Kg/cm ²														
Resistencia a la compresión incondingida, q_u (Kg/cm ²)														
Densidad relativa %														
Materia Organica (%)	0.7	2.4												

67

68

A N E X O No 5
ANALISIS DE ESTABILIDAD

69

ANALISIS DE ESTABILIDAD DE TALUDES METODO DE JANBU

Trabajo : ESTUDIO DE ESTABILIDAD BARRIO MARISCAL SUCRE, SUBZONA 1

Datos generales

Numero de tajadas 8

Peso unitario 2.00

Fuerzas externas

Primera tajada (arriba) Ex . Ty 0.00 0.00

Ultima tajada Ex . Ty 0.00 0.00

Coeficiente de aceleracion horizontal 0.000'

Datos de las tajadas

alfa : angulo de la base de la tajada con la horizontal

dx : ancho de la tajada

z : altura de la tajada

u : presion de poros en la base de la tajada

q : sobrecarga aplicada/mt.

ht : (altura de la linea de aplicacion)/z

de la resultante entre tajadas $\approx 1/3$

c : cohesion en la base de la tajada

fi : angulo de friccion del material

No	alfa	dx	z	u	q'	ht	c	fi
1	27.00	4.00	3.00	2.00	0.00	1.00	2.00	0.00
2	27.00	4.00	3.00	2.00	0.00	1.00	2.00	0.00
3	27.00	4.00	3.00	2.00	0.00	1.00	2.00	0.00
4	27.00	4.00	3.00	2.00	0.00	1.00	2.00	0.00
5	27.00	4.00	2.60	2.00	0.00	0.80	2.00	0.00
6	27.00	4.00	1.60	2.00	0.00	0.33	2.00	0.00
7	27.00	4.00	1.00	2.00	0.00	0.33	2.00	0.00
8	27.00	4.00	1.00	2.00	0.00	0.33	2.00	0.00

ht para la ultima fuerza horizontal 0.67

Alfat

factor de seguridad inicial 1.087

factor de seguridad inicial 1.087

Factor de seguridad final 1.095

tajada	T	E	tao	sig'
1	-0.67	2.53	1.83	2.83
2	-1.92	4.93	1.83	2.76
3	-3.12	7.28	1.83	-2.74
4	-4.55	9.65	1.83	2.76
5	-5.62	10.97	1.83	2.24
6	-4.81	8.96	1.83	0.60
7	-2.95	5.07	1.83	-0.33
8	0.00	0.00	1.83	-0.93

70

ANALISIS DE ESTABILIDAD DE TALUDES METODO DE JANBU

Trabajo : ESTUDIO DE ESTABILIDAD BARRIO MARISCAL SUCRE SUBZONA 1

Datos generales

Numero de tajadas 8

Peso unitario 2.00

Fuerzas externas

Primera tajada (arriba) Ex , Ty 0.00 0.00

Ultima tajada Ex , Ty 20.00 0.00

Coeficiente de aceleracion horizontal 0.000

Datos de las tajadas

alfa : angulo de la base de la tajada con la horizontal

dx : ancho de la tajada

z : altura de la tajada

u : presion de poros en la base de la tajada

o : sobrecarga aplicada/mt.

ht : (altura de la linea de aplicacion)/z
de la resultante entre tajadas $\sim=1/3$

c : cohesion en la base de la tajada

fi : angulo de friccion del material

No	alfa	dx	z	u	q'	ht	c	fi
1	27.00	4.00	3.00	2.00	0.00	1.00	2.00	0.00
2	27.00	4.00	3.00	2.00	0.00	1.00	2.00	0.00
3	27.00	4.00	3.00	2.00	0.00	1.00	2.00	0.00
4	27.00	4.00	3.00	2.00	0.00	1.00	2.00	0.00
5	27.00	4.00	2.60	2.00	0.00	0.80	2.00	0.00
6	27.00	4.00	1.60	2.00	0.00	0.33	2.00	0.00
7	27.00	4.00	1.00	2.00	0.00	0.33	2.00	0.00
8	27.00	4.00	1.00	2.00	0.00	0.33	2.00	0.00

ht para la ultima fuerza horizontal 0.67

Alfat

factor de seguridad inicial 1.488

factor de seguridad inicial 1.488

Factor de seguridad final 1.563

tajada	T	E	tao	sig'
1	-1.29	4.84	1.28	2.89
2	-3.66	9.43	1.28	2.76
3	-5.98	13.95	1.28	2.73
4	-8.59	18.43	1.28	2.72
5	-11.03	21.93	1.28	2.23
6	-11.13	21.89	1.28	0.49
7	-11.47	22.37	1.28	0.74
8	0.00	20.00	1.28	-0.65

71

ANALISIS DE ESTABILIDAD DE TALUDES METODO DE JANBU

Trabajo : ESTUDIO DE ESTABILIDAD BARRIO MARISCAL SUCRE SUBZONA 1

Datos generales

Numero de tajadas B

Peso unitario 2.00

Fuerzas externas

Primera tajada (arriba) Ex , Ty 0.00 0.00

Ultima tajada Ex , Ty 20.00' 0.00

Coeficiente de aceleracion horizontal 0.000'

Datos de las tajadas

alfa : anulo de la base de la tajada con la horizontal

dx : ancho de la tajada

z : altura de la tajada

u : presion de poros en la base de la tajada

q : sobrecarga aplicada/mt.

ht : (altura de la linea de aplicacion)/z
de la resultante entre tajadas $\sim=1/3$

c : cohesion en la base de la tajada

fi : angulo de friccion del material

No	alfa	dx	z	u	q'	ht	c	fi
1	27.00	4.00	3.00	2.00	0.00	1.00	2.00	0.00
2	27.00	4.00	3.00	2.00	0.00	1.00	2.00	0.00
3	27.00	4.00	3.00	2.00	1.00	1.00	2.00	0.00
4	27.00	4.00	3.00	2.00	1.00	1.00	2.00	0.00
5	27.00	4.00	2.60	2.00	1.00	0.80	2.00	0.00
6	27.00	4.00	1.60	2.00	0.00	0.33	2.00	0.00
7	27.00	4.00	1.00	2.00	0.00	0.33	2.00	0.00
8	27.00	4.00	1.00	2.00	0.00	0.33	2.00	0.00

ht para la ultima fuerza horizontal 0.67

Alfat

factor de seguridad inicial 1.337

factor de seguridad inicial 1.337

Factor de seguridad final 1.401

tajada	T	E	tao	sig'
1	-1.16	4.27	1.43	2.90
2	-2.97	8.16	1.43	2.71
3	-5.63	13.75	1.43	3.55
4	-8.77	19.20	1.43	3.48
5	-11.98	23.85	1.43	3.09
6	-11.85	23.20	1.43	0.48
7	-11.91	23.11	1.43	0.75
8	0.00	20.00	1.43	-0.73

72

ANALISIS DE ESTABILIDAD DE TALUDES METODO DE JANBU

Trabajo : MARISCAL SUCRE. SUBZONA 1

Datos generales

Numero de tajadas 8

Peso unitario 2.00

Fuerzas externas

Primera tajada (arriba) Ex . Ty 0.00 0.00

Ultima tajada Ex . Ty 20.00 0.00

Coeficiente de aceleracion horizontal 0.120

Datos de las tajadas

alfa : angulo de la base de la tajada con la horizontal

dx : ancho de la tajada

z : altura de la tajada

u : presion de poros en la base de la tajada

q : sobrecarga aplicada/mt.

ht : (altura de la linea de aplicacion)/z

de la resultante entre tajadas $\approx 1/3$

c : cohesion en la base de la tajada

fi : angulo de friccion del material

No	alfa	dx	z	u	q	ht	c	fi
1	27.00	4.00	3.00	2.00	0.00	1.00	2.00	0.00
2	27.00	4.00	3.00	2.00	0.00	1.00	2.00	0.00
3	27.00	4.00	3.00	2.00	1.00	1.00	2.00	0.00
4	27.00	4.00	3.00	2.00	1.00	1.00	2.00	0.00
5	27.00	4.00	2.60	2.00	1.00	0.80	2.00	0.00
6	27.00	4.00	1.60	2.00	0.00	0.33	2.00	0.00
7	27.00	4.00	1.00	2.00	0.00	0.33	2.00	0.00
8	27.00	4.00	1.00	2.00	0.00	0.33	2.00	0.00

ht para la ultima fuerza horizontal 0.67

Alfat

factor de seguridad inicial 1.037

factor de seguridad inicial 1.037

Factor de seguridad final 1.076

tajada	T	E	tao	sig'
1	-1.31	4.87	1.86	2.63
2	-3.42	9.34	1.86	2.43
3	-6.31	15.53	1.86	3.27
4	-9.67	21.55	1.86	3.20
5	-13.18	26.48	1.86	2.84
6	-12.96	25.33	1.86	0.33
7	-12.55	24.32	1.86	0.67
8	0.00	20.00	1.86	-0.95



ANALISIS DE ESTABILIDAD DE TALUDES METODO DE JANBU

Trabajo : ESTUDIO DE ESTABILIDAD MARISCAL SUCRE SUBZONA 2

Datos generales

Numero de tajadas 10

Peso unitario 2.00

Fuerzas externas

Primera tajada (arriba) Ex , Ty 0.00 0.00

Ultima tajada Ex , Ty 0.00 0.00

Coeficiente de aceleracion horizontal 0.000

Datos de las tajadas

alfa : angulo de la base de la tajada con la horizontal

dx : ancho de la tajada

z : altura de la tajada

u : presion de poros en la base de la tajada

q : sobrecarga aplicada/mt.

ht : (altura de la linea de aplicacion)/z
de la resultante entre tajadas $\approx 1/3$

c : cohesion en la base de la tajada

fi : angulo de friccion del material

No	alfa	dx	z	u	q	ht	c	fi
1	40.00	4.00	1.00	1.00	0.00	0.33	1.50	0.00
2	40.00	4.00	1.50	1.50	0.00	0.50	1.50	0.00
3	35.00	4.00	2.00	2.00	0.00	0.67	1.50	0.00
4	32.00	4.00	2.50	2.50	0.00	0.81	1.50	0.00
5	30.00	4.00	2.50	2.50	0.00	0.81	1.50	0.00
6	25.00	4.00	2.50	2.50	0.00	0.81	1.50	0.00
7	21.00	4.00	2.00	2.00	0.00	0.67	1.50	0.00
8	21.00	4.00	1.30	1.30	0.00	0.40	1.50	0.00
9	21.00	4.00	1.00	1.00	0.00	0.33	1.50	0.00
10	21.00	4.00	0.50	0.50	0.00	0.16	1.50	0.00

ht para la ultima fuerza horizontal 0.00

Alfat

factor de seguridad inicial 1.059

factor de seguridad inicial 1.059

Factor de seguridad final 1.085

tajada	T	E	tao	sig'
1	1.58	-2.01	1.38	0.05
2	1.69	-1.81	1.38	0.21
3	0.53	0.02	1.38	0.63
4	-1.53	3.59	1.38	1.14
5	-3.43	6.98	1.38	1.37
6	-4.22	9.50	1.38	1.82
7	-3.75	9.51	1.38	1.61
8	-3.07	7.50	1.38	0.99
9	-2.00	4.81	1.38	0.85
10	0.00	0.00	1.38	-0.03

ANALISIS DE ESTABILIDAD DE TALUDES METODO DE JANBU

Trabajo : ESTUDIO DE ESTABILIDAD MARISCAL SUCRE. SUBZONA 2

Datos generales

Numero de tajadas 10

Peso unitario 2.00

Fuerzas externas

Primera tajada (arriba) Ex , Ty 0.00 0.00

Ultima tajada Ex , Ty 10.00 ✓ 0.00

Coeficiente de aceleracion horizontal 0.000 ✓

Datos de las tajadas

alfa : angulo de la base de la tajada con la horizontal

dx : ancho de la tajada

z : altura de la tajada

u : presion de poros en la base de la tajada

q : sobrecarga aplicada/mt.

ht : (altura de la linea de aplicacion)/z
de la resultante entre tajadas $\sim=1/3$

c : cohesion en la base de la tajada

fi : angulo de friccion del material

No	alfa	dx	z	u	q	ht	c	fi
1	40.00	4.00	1.00	1.00	0.00	0.33	1.50	0.00
2	40.00	4.00	1.50	1.50	0.00	0.50	1.50	0.00
3	35.00	4.00	2.00	2.00	0.00	0.67	1.50	0.00
4	32.00	4.00	2.50	2.50	0.00	0.81	1.50	0.00
5	30.00	4.00	2.50	2.50	0.00	0.81	1.50	0.00
6	25.00	4.00	2.50	2.50	0.00	0.81	1.50	0.00
7	21.00	4.00	2.00	2.00	0.00	0.67	1.50	0.00
8	21.00	4.00	1.30	1.30	0.00	0.40	1.50	0.00
9	21.00	4.00	1.00	1.00	0.00	0.33	1.50	0.00
10	21.00	4.00	0.50	0.50	0.00	0.16	1.50	0.00

ht para la ultima fuerza horizontal 0.50

Alfat

factor de seguridad inicial 1.219

factor de seguridad inicial 1.219

Factor de seguridad final 1.281 ✓

tajada	T	E	tao	sig'
1	0.96	-1.15	1.17	0.06
2	0.32	0.01	1.17	0.24
3	-1.24	2.83	1.17	0.68
4	-3.68	7.34	1.17	1.18
5	-5.98	11.75	1.17	1.44
6	-6.76	15.31	1.17	1.92
7	-6.25	16.25	1.17	1.66
8	-5.87	15.03	1.17	0.95
9	-5.42	13.85	1.17	1.28
10	0.00	10.00	1.17	0.05

75

ANALISIS DE ESTABILIDAD DE TALUDES METODO DE JANBU

Trabajo : MARISCAL SUCRE. SUBZONA 2

Datos generales

Numero de tajadas 10

Peso unitario 2.00

Fuerzas externas

Primera tajada (arriba) Ex , Ty 0.00 0.00

Ultima tajada Ex , Ty 10.00/ 0.00

Coeficiente de aceleracion horizontal 0.120/

Datos de las tajadas

alfa : angulo de la base de la tajada con la horizontal

dx : ancho de la tajada

z : altura de la tajada

u : presion de poros en la base de la tajada

q : sobrecarga aplicada/mt.

ht : (altura de la linea de aplicacion)/z

de la resultante entre tajadas $\sim 1/3$

c : cohesion en la base de la tajada

fi : angulo de friccion del material

No	alfa	dx	z	u	q	ht	c	fi
1	40.00	4.00	1.00	0.00	0.00	0.33	1.50	0.00
2	40.00	4.00	1.50	0.50	0.00	0.50	1.50	0.00
3	35.00	4.00	2.00	1.00	0.00	0.67	1.50	0.00
4	32.00	4.00	2.50	1.50	0.00	0.81	1.50	0.00
5	30.00	4.00	2.50	1.50	0.00	0.81	1.50	0.00
6	25.00	4.00	2.50	1.50	0.00	0.81	1.50	0.00
7	21.00	4.00	2.00	1.00	0.00	0.67	1.50	0.00
8	21.00	4.00	1.30	0.30	0.00	0.40	1.50	0.00
9	21.00	4.00	1.00	0.00	0.00	0.33	1.50	0.00
10	21.00	4.00	0.50	0.00	0.00	0.16	1.50	0.00

ht para la ultima fuerza horizontal 0.50

Alfat

factor de seguridad inicial 0.980

factor de seguridad inicial 0.980/

Factor de seguridad final 1.021/

tajada	T	E	tao	sig'
1	1.41	-1.87	1.47	0.91
2	1.15	-1.17	1.47	1.03
3	-0.45	1.68	1.47	1.43
4	-3.19	6.74	1.47	1.92
5	-5.77	11.78	1.47	2.19
6	-6.90	16.14	1.47	2.70
7	-6.66	17.57	1.47	2.51
8	-6.30	16.24	1.47	1.85
9	-5.75	14.74	1.47	2.22
10	0.00	10.00	1.47	0.44



ANALISIS DE ESTABILIDAD DE TALUDES METODO DE JANBU

Trabajo : MARISCAL SUCRE. SUBZONA 2

Datos generales

Numero de tajadas 10

Peso unitario 2.00

Fuerzas externas

Primera tajada (arriba) Ex , Ty 0.00 0.00

Ultima tajada Ex , Ty 15.00 / 0.00

Coeficiente de aceleracion horizontal 0.120 /

Datos de las tajadas

alfa : angulo de la base de la tajada con la horizontal

dx : ancho de la tajada

z : altura de la tajada

u : presion de poros en la base de la tajada

q : sobrecarga aplicada/mt.

ht : (altura de la linea de aplicacion)/z
de la resultante entre tajadas $\approx 1/3$

c : cohesion en la base de la tajada

fi : angulo de friccion del material

No	alfa	dx	z	u	q	ht	c	fi
1	40.00	4.00	1.00	0.00	0.00	0.33	1.50	0.00
2	40.00	4.00	1.50	0.50	0.00	0.50	1.50	0.00
3	35.00	4.00	2.00	1.00	0.00	0.67	1.50	0.00
4	32.00	4.00	2.50	1.50	0.00	0.81	1.50	0.00
5	30.00	4.00	2.50	1.50	0.00	0.81	1.50	0.00
6	25.00	4.00	2.50	1.50	0.00	0.81	1.50	0.00
7	21.00	4.00	2.00	1.00	0.00	0.67	1.50	0.00
8	21.00	4.00	1.30	0.30	0.00	0.40	1.50	0.00
9	21.00	4.00	1.00	0.00	0.00	0.33	1.50	0.00
10	21.00	4.00	0.50	0.00	0.00	0.16	1.50	0.00

ht para la ultima fuerza horizontal 0.50

Alfat

factor de seguridad inicial 1.043

factor de seguridad inicial 1.043

Factor de seguridad final 1.100 /

tajada	T	E	tao	sig'
1	1.10	-1.44	1.36	0.91
2	0.47	-0.25	1.36	1.05
3	-1.34	3.08	1.36	1.45
4	-4.26	8.61	1.36	1.93
5	-7.04	14.16	1.36	2.22
6	-8.17	19.05	1.36	2.76
7	-7.91	20.94	1.36	2.54
8	-7.70	20.01	1.36	1.83
9	-7.46	19.26	1.36	2.44
10	0.00	15.00	1.36	0.48

ANALISIS DE ESTABILIDAD DE TALUDES METODO DE JANBU

Trabajo : MARISCAL SUCRE. SUBZONA 3

Datos generales

Numero de tajadas 7

Peso unitario 2.00

Fuerzas externas

Primera tajada (arriba) Ex. Ty 0.00 0.00

Ultima tajada Ex. Ty 0.00 0.00

Coefficiente de aceleracion horizontal 0.000

Datos de las tajadas

alfa : angulo de la base de la tajada con la horizontal

dx : ancho de la tajada

z : altura de la tajada

u : presion de poros en la base de la tajada

q : sobrecarga aplicada/mt.

ht : (altura de la linea de aplicacion)/z

de la resultante entre tajadas $\approx 1/3$

c : cohesion en la base de la tajada

fi : angulo de friccion del material

No	alfa	dx	z	u	q	ht	c	fi
1	32.00	4.00	1.00	1.00	0.00	0.33	0.80	20.00
2	27.00	4.00	1.50	1.50	0.00	0.50	0.80	20.00
3	27.00	4.00	2.00	2.00	0.00	0.66	0.80	20.00
4	27.00	4.00	2.50	2.50	0.00	0.81	0.80	20.00
5	24.00	4.00	2.50	2.50	0.00	0.81	0.80	20.00
6	14.00	4.00	2.50	2.50	0.00	0.81	0.80	20.00
7	5.00	4.00	2.00	2.00	0.00	0.67	0.80	20.00

ht para la ultima fuerza horizontal 0.67

Alfat

factor de seguridad inicial 1.029

factor de seguridad inicial 0.997

factor de seguridad inicial 0.993

Factor de seguridad final 1.003

tajada	T	E	tau	sig'
1	0.17	-0.25	0.95	0.42
2	0.10	0.12	1.11	0.86
3	-0.41	1.68	1.21	1.14
4	-1.80	4.47	1.35	1.51
5	-2.82	6.34	1.47	1.86
6	-1.66	4.54	1.68	2.43
7	0.00	0.00	1.48	1.67

78

ANALISIS DE ESTABILIDAD DE TALUDES METODO DE JANBU

Trabajo : MARISCAL SUCRE, SUBZONA 3

Datos generales

Numero de tajadas 7

Peso unitario 2.00

Fuerzas externas

Primera tajada (arriba) Ex , Ty 0.00 0.00

Ultima tajada Ex , Ty 10.00 0.00

Coeficiente de aceleracion horizontal 0.000

Datos de las tajadas

alfa : angulo de la base de la tajada con la horizontal

dx : ancho de la tajada

z : altura de la tajada

u : presion de poros en la base de la tajada

q : sobrecarga aplicada/mt.

ht : (altura de la linea de aplicacion)/2

de la resultante entre tajadas $\approx 1/3$

c : cohesion en la base de la tajada

fi : angulo de friccion del material

No	alfa	dx	z	u	o	ht	c	fi
1	32.00	4.00	1.00	1.00	0.00	0.33	0.80	20.00
2	27.00	4.00	1.50	1.50	0.00	0.50	0.80	20.00
3	27.00	4.00	2.00	2.00	0.00	0.66	0.80	20.00
4	27.00	4.00	2.50	2.50	0.00	0.81	0.80	20.00
5	24.00	4.00	2.50	2.50	0.00	0.81	0.80	20.00
6	14.00	4.00	2.50	2.50	0.00	0.81	0.80	20.00
7	5.00	4.00	2.00	2.00	0.00	0.67	0.80	20.00

ht para la ultima fuerza horizontal 0.67

Alfat

factor de seguridad inicial 1.326

factor de seguridad inicial 1.321

Factor de seguridad final 1.365

tajada	T	E	tao	sig'
1	-0.35	0.80	0.71	0.45
2	-0.84	2.37	0.82	0.88
3	-1.94	5.21	0.89	1.15
4	-4.03	9.47	1.00	1.55
5	-5.45	13.04	1.14	2.06
6	-3.49	12.99	1.34	2.85
7	0.00	10.00	1.09	1.90

79

ANALISIS DE ESTABILIDAD DE TALUDES METODO DE JANBU

Trabajo : MARISCAL SUCRE. SUBZONA 3

- Datos generales

Numero de tajadas 7

Peso unitario 2.00

Fuerzas externas

Primera tajada (arriba) Ex . Ty 0.00 0.00

Ultima tajada Ex . Ty 10.00 0.00

Coeficiente de aceleracion horizontal 0.120

Datos de las tajadas

alfa : angulo de la base de la tajada con la horizontal

dx : ancho de la tajada

z : altura de la tajada

u : presion de poros en la base de la tajada

q : sobrecarga aplicada/mt.

ht : (altura de la linea de aplicacion)/z
de la resultante entre tajadas $\gamma=1/3$

c : cohesion en la base de la tajada

fi : angulo de friccion del material

No	alfa	dx	z	u	q	ht	c	fi
1	32.00	4.00	1.00	1.00	0.00	0.33	0.80	20.00
2	27.00	4.00	1.50	1.50	0.00	0.50	0.80	20.00
3	27.00	4.00	2.00	2.00	0.00	0.66	0.80	20.00
4	27.00	4.00	2.50	2.50	0.00	0.81	0.80	20.00
5	24.00	4.00	2.50	2.50	0.00	0.81	0.80	20.00
6	14.00	4.00	2.50	2.50	0.00	0.81	0.80	20.00
7	5.00	4.00	2.00	2.00	0.00	0.67	0.80	20.00

ht para la ultima fuerza horizontal 0.67

Alfat

factor de seguridad inicial 0.956

factor de seguridad inicial 0.917

factor de seguridad inicial 0.912

Factor de seguridad final 0.929

tajada	T	E	tao	sig'
1	-0.17	0.30	0.98	0.31
2	-0.62	1.69	1.15	0.73
3	-1.69	4.69	1.24	0.96
4	-3.91	9.36	1.38	1.33
5	-5.41	13.17	1.60	1.88
6	-3.22	13.07	1.92	2.70
7	0.00	10.00	1.59	1.86

80

ANALISIS DE ESTABILIDAD DE TALUDES METODO DE JANBU

* Trabajo : MARISCAL SUCRE. SUBZONA 3

Datos generales

Numero de tajadas 7

* Peso unitario 2.00

Fuerzas externas

Primera tajada (arriba) Ex . Ty 0.00 0.00

Ultima tajada Ex . Ty 12.00 0.00

Coeficiente de aceleracion horizontal 0.120

Datos de las tajadas

alfa : angulo de la base de la tajada con la horizontal

dx : ancho de la tajada

z : altura de la tajada

u : presion de poros en la base de la tajada

q : sobrecarga aplicada/mt.

ht : (altura de la linea de aplicacion)/z
de la resultante entre tajadas $\approx 1/3$

c : cohesion en la base de la tajada

fi : angulo de friccion del material

No	alfa	dx	z	u	q	ht	c	fi
1	32.00	4.00	1.00	1.00	10.00/	0.33	0.80	20.00
2	27.00	4.00	1.50	1.50	0.00	0.50	0.80	20.00
3	27.00	4.00	2.00	2.00	0.00	0.66	0.80	20.00
4	27.00	4.00	2.50	2.50	0.00	0.81	0.80	20.00
5	24.00	4.00	2.50	2.50	0.00	0.81	0.80	20.00
6	14.00	4.00	2.50	2.50	0.00	0.81	0.80	20.00
7	5.00	4.00	2.00	2.00	0.00	0.67	0.80	20.00

ht para la ultima fuerza horizontal 0.67

Alfat

factor de seguridad inicial 0.891

factor de seguridad inicial 0.841

factor de seguridad inicial 0.833

Factor de seguridad final 0.846

tajada	T	E	tao	sig'
1	-3.30	5.81	4.33	7.88
2	-3.28	6.76	1.27	0.75
3	-4.13	9.28	1.36	0.96
4	-6.09	13.42	1.53	1.35
5	-7.09	16.61	1.79	1.97
6	-3.99	15.66	2.17	2.85
7	0.00	12.00	1.74	1.85

81

ANALISIS DE ESTABILIDAD DE TALUDES METODO DE JANBU

Trabajo : MARISCAL SUCRE. SUBZONA 3

Datos generales

Numero de tajadas 7

Peso unitario 2.00

Fuerzas externas

Primera tajada (arriba) Ex , Ty 0.00 0.00

Ultima tajada Ex , Ty 12.00 / 0.00

Coeficiente de aceleracion horizontal 0.120 /

Datos de las tajadas

alfa : angulo de la base de la tajada con la horizontal

dx : ancho de la tajada

z : altura de la tajada

u : presion de poros en la base de la tajada

q : sobrecarga aplicada/mt.

ht : (altura de la linea de aplicacion)/z
de la resultante entre tajadas $\sim 1/3$

c : cohesion en la base de la tajada

fi : angulo de friccion del material

No	alfa	dx	z	u	q	ht	c	fi
1	27.00	4.00	1.50	1.50	10.00	0.33	2.50 /	30.00 /
2	27.00	4.00	1.50	1.50	0.00	0.50	0.80	20.00
3	27.00	4.00	2.00	2.00	0.00	0.66	0.80	20.00
4	27.00	4.00	2.50	2.50	0.00	0.81	0.80	20.00
5	24.00	4.00	2.50	2.50	0.00	0.81	0.80	20.00
6	14.00	4.00	2.50	2.50	0.00	0.81	0.80	20.00
7	5.00	4.00	2.00	2.00	0.00	0.67	0.80	20.00

ht para la ultima fuerza horizontal 0.67

Alfat

factor de seguridad inicial 1.150 /

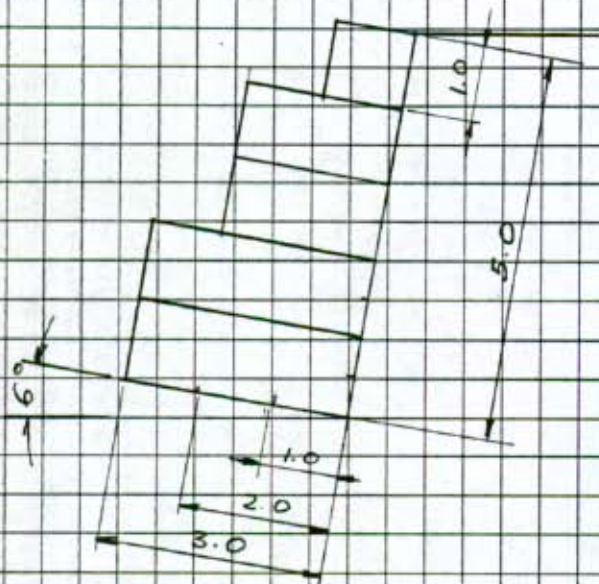
factor de seguridad inicial 1.122

factor de seguridad inicial 1.118

Factor de seguridad final 1.138

tajada	T	E	tao	sig'
1	1.98	-4.23	6.45	8.39
2	1.39	-1.97	0.95	0.76
3	-0.09	1.94	1.01	0.96
4	-2.81	7.63	1.13	1.33
5	-4.90	12.60	1.30	1.87
6	-3.22	13.91	1.57	2.72
7	0.00	12.00	1.31	1.89





Altura	$h = 5m$
Ancho	$B = 3m$
ϕ	30°
E	0°
α	$6^\circ (1:10)$
β	96
δ	$0.9\phi = 27$
γ_{suelo}	$1.8 T/m^3$
γ_{gavion}	$1.7 T/m^3$
$\gamma_{adm.}$	$15 T/m^2$
Fricción	0.5
K_a	0.25
Sobre Carga	$h_s = 0.55 T/m$

$$P_a = \frac{1}{2} \times 1.8 \times 5^2 \times 0.25 = 5.6 T/m$$

$$P_A = P_a \left(1 + 2 \frac{h_s}{h} \right) = 6.83 T/m$$

$$P_h = P_A \cos(\delta - \alpha) = 6.38 T$$

$$P_v = P_A \sin(\delta - \alpha) = 2.45 T$$

$$d = \frac{5}{3} \left(\frac{11.7 + 2 \times 0.45}{11.25 + 0.45} \right) = 1.79 \text{ Brazo}$$

Peso Muro

$$W = \gamma_g \times \text{Area} \times 1 = 1.7 \times 1.1 = 18.7 T/m$$

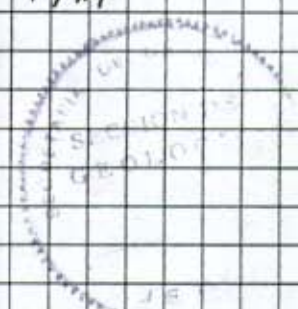
Comprobaciones

Vuelco

$$M_o = P_h \times d = 11.42$$

$$M_r = W \times 2.2 + P_v \times 3 = 48.49$$

$$F_{seguridad} = \frac{48.49}{11.42} = 4.25$$



Deslizamiento.

$$F_{seg} = 0.5 \frac{N}{T} = 2.62$$

$$N = (W + P_v) \cos \alpha + P_h \sin \alpha = 21.70$$

$$T = (P_h \cos \alpha) - (W + P_v) \sin \alpha = 4.13$$

Reacciones del terreno.

$$\sum M_A = 48.49 - 11.42 = 37.07$$

$$X_A = \frac{37.07}{18.7} = 1.98$$

$$G = \frac{(W + P_v)}{B L} \left(1 \pm \frac{6e}{L} \right)$$

B = 1 metro de ancho en la dirección del muro.

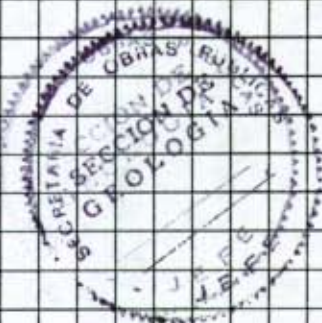
L = 3.0 m de ancho del muro.

$$e = \frac{3.0}{2} - 1.98 = -0.48$$

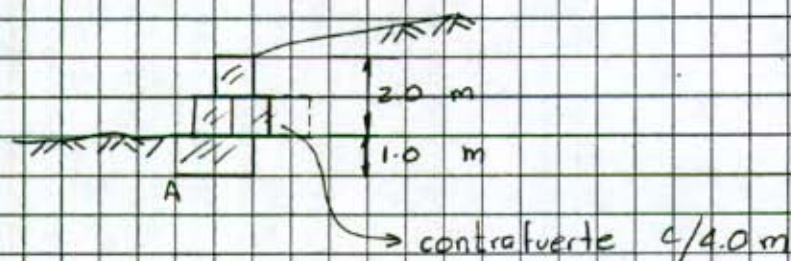
$$G_1 = 0.28 \text{ T/m}^2$$

$$G_2 = 13.9 \text{ T/m}^2$$

$$G_{adm} = 15 \text{ T/m}^2 > G_2 \text{ correcto.}$$



Para una fuerza horizontal en la base del deslizamiento de 10T/m se tiene:



Estabilidad contra volcamiento:

$$F_{sv} = \frac{\sum M_A^{\downarrow}}{\sum M_A^{\uparrow}}$$

$$\sum M_A^{\uparrow} = 10 \times 1.0 \text{ m} = 10 \text{ ton/m}$$

$$\begin{aligned} \sum M_A^{\downarrow} &= 2 \times 1.8 \times 1.0 + 1.0 \times 1.8 \times 1.0 + 0.5 \times 1.8 \times 2.5 \\ &\quad + 1.8 \times 1.5 + \frac{(2 \times 2 + 1.5 \times 2) \times 3}{4} + 1.5 + 2.0 \times 1.0 \\ &= 28.3 \text{ ton-m/m} \end{aligned}$$

$$F_{sv} = \frac{28.3}{10} = 2.8 \text{ (correcto)}$$

Estabilidad contra deslizamiento:

$$F_{sd} = \frac{F_p + F_w + F_f}{10}$$

$$G_{hp} = G_{va} + 2C_u \geq 2C_u$$

$$G_{hp} = 20 + 1 \text{ m}^2$$

$$F_p = 20 \times 1 = 20 \text{ ton/m}$$

$$F_w = w \tan \phi \text{ m} = (4.5 \times 1.8) \tan 17^\circ = 2.5 \text{ ton/m}$$

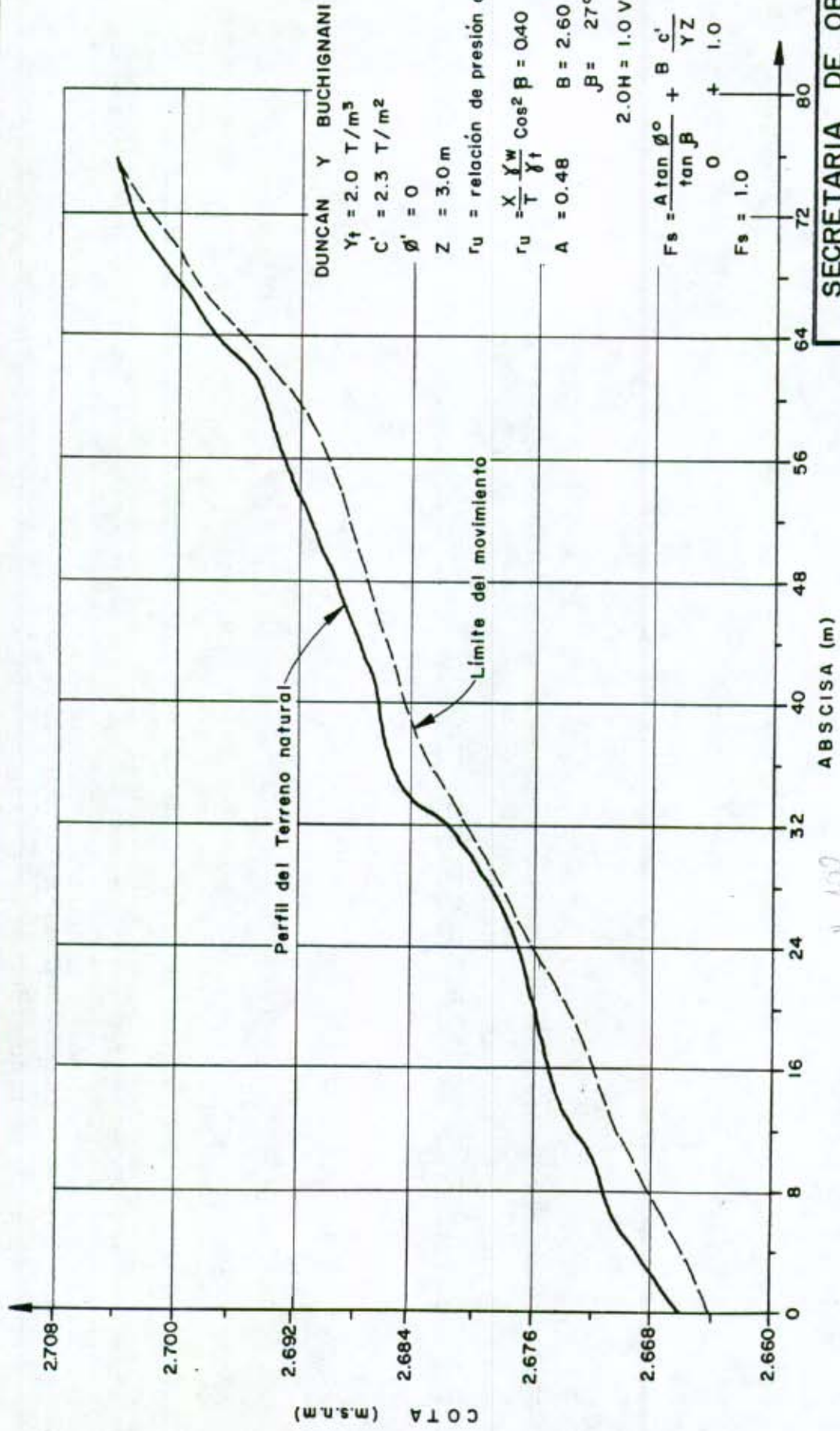
$$F_f = \frac{(2 \times 2 + 1.5 \times 2) \times 3}{4} = 5.25 \text{ ton/m}$$

$$F_{sd} = \frac{20 + 2.5 + 5.25}{10} = \frac{27.75}{10} = 2.8 \text{ (correcto)}$$

85

A N E X O No 6

RECOMENDACIONES



ABSCISA (m)

ANALISIS DE ESTABILIDAD

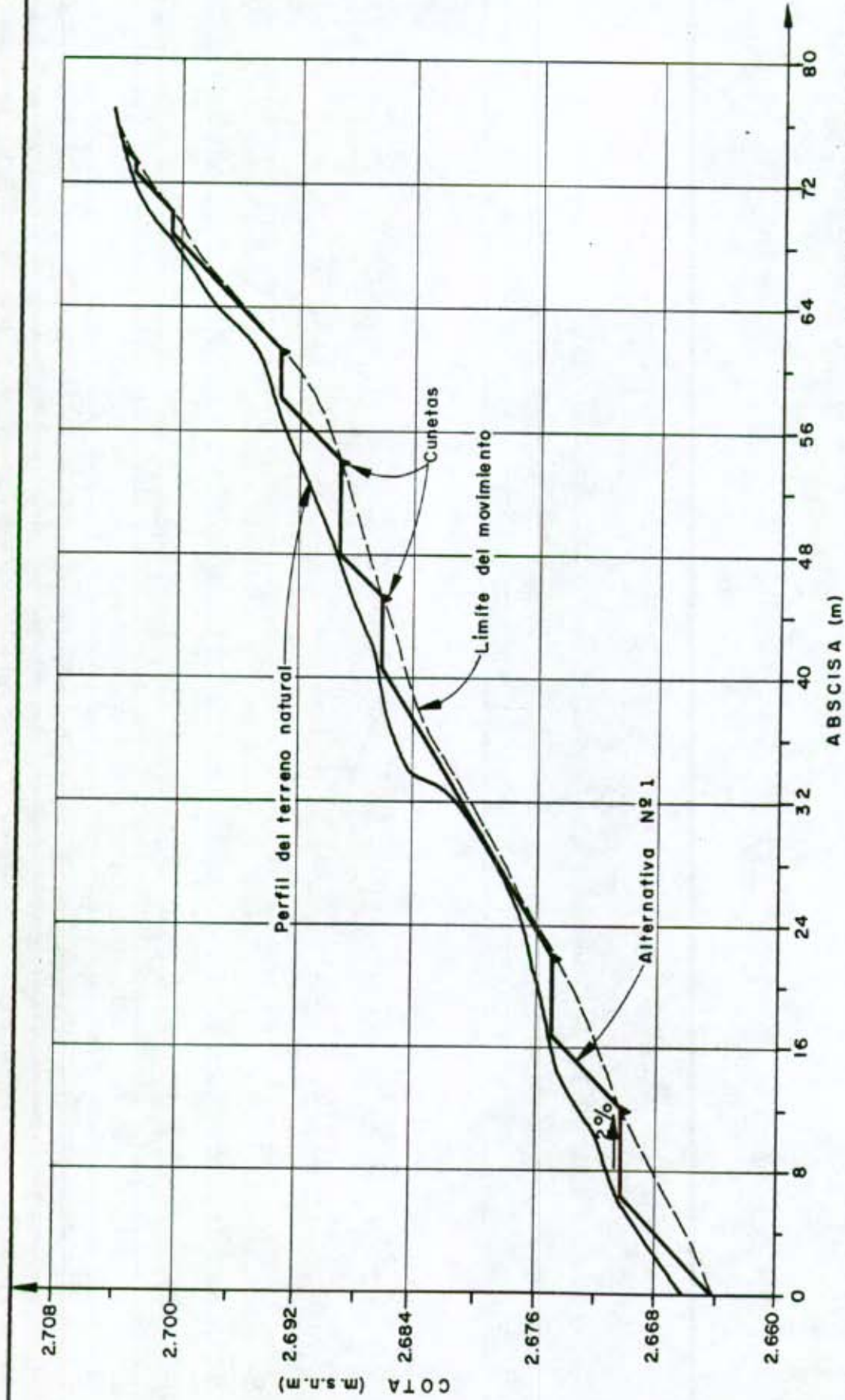
SECRETARIA DE OBRAS
PUBLICAS DEL DISTRITO

ESTUDIO GEOLOGICO Y GEOTECNICO
BARRIO MARISCAL SUCRE-BOGOTA D.E.

ING. JAIME D. BATEMAN DURAN

SUBZONA 1

DIBUJO:	O.I.C.P.	REVISO:	J.D.B.D.	APROBO:	J.D.B.D.
ESCALA:	INDIC.	FECHA:	MARZO/90	FIGURA:	6.1



**BERMAS DE PEQUENA LONGITUD
ALTERNATIVA 1**

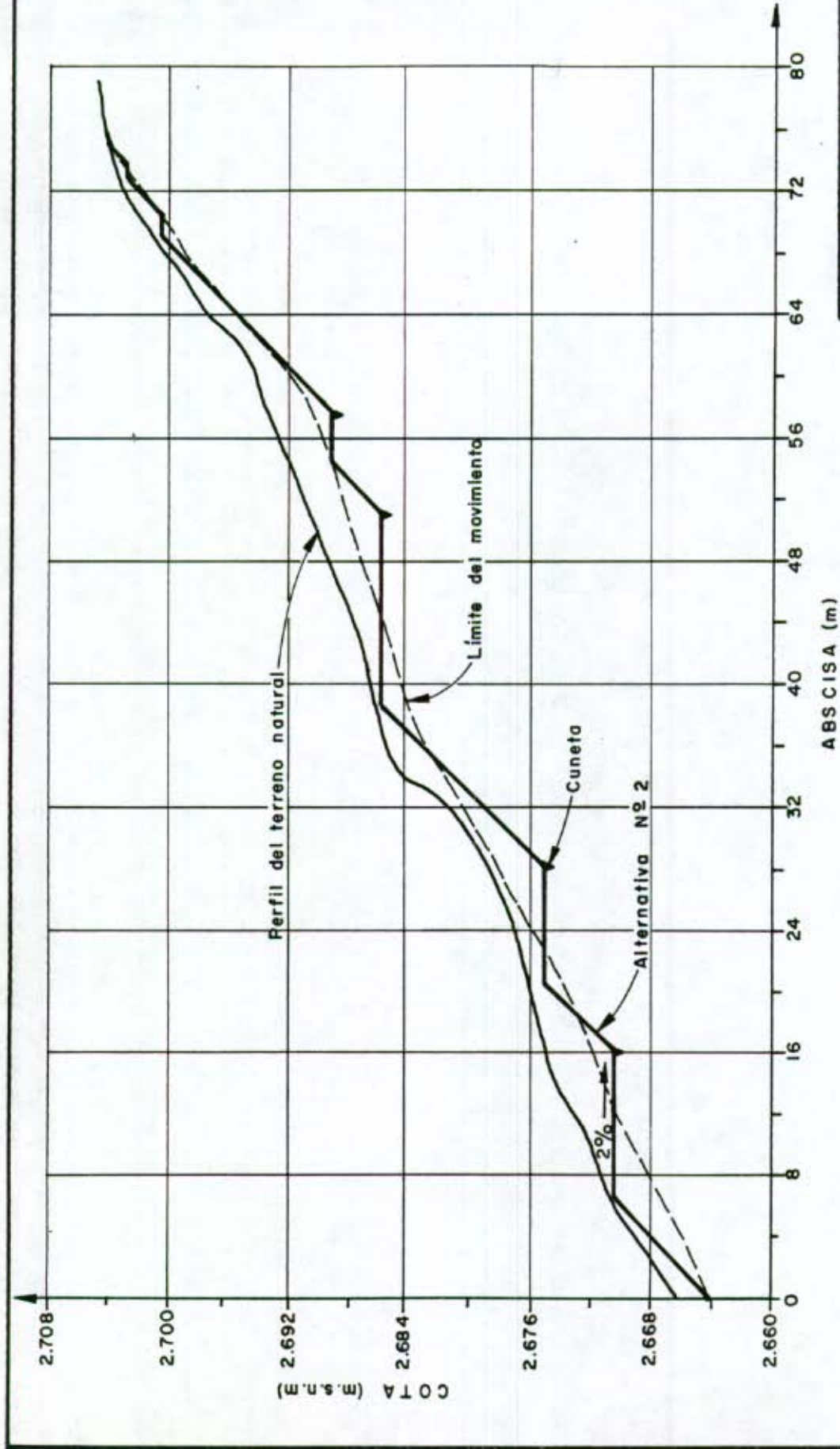
**SECRETARIA DE OBRAS
PUBLICAS DEL DISTRITO**

**ESTUDIO GEOLOGICO Y GEOTECNICO
BARRIO MARISCAL SUCRE - BOGOTA D.E.**

ING. JAIME D. BATEMAN DURAN

SUBZONA 1

DIBUJO:	O.I.C.P.	REVISO:	J.D.B.D.	APROBO:	J.D.B.D.
ESCALA:	SIN	FECHA:	MARZO/90	FIGURA:	6.2



**BERMAS PARA CONSTRUCCION
ALTERNATIVA 2**

ABSCISA (m)

COTA (m.s.n.m.)

Perfil del terreno natural

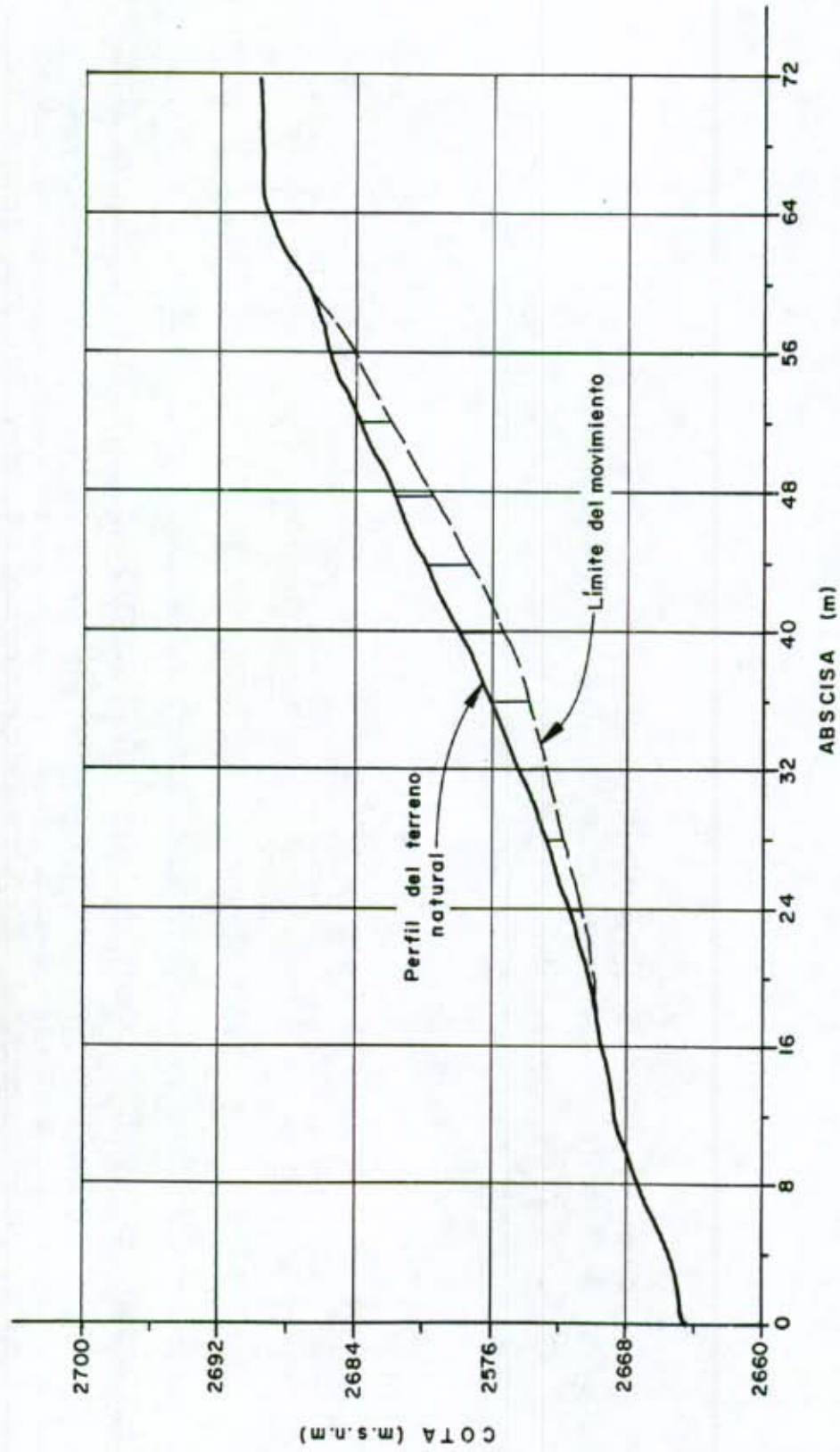
Límite del movimiento

Cuneta

Alternativa N° 2

2%

SECRETARIA DE OBRAS PUBLICAS DEL DISTRITO			
ESTUDIO GEOLOGICO Y GEOTECNICO BARRIO MARISCAL SUCRE - BOGOTA D.E.			
ING. JAIME D. BATEMAN DURAN			
SUBZONA 1			
DIBUJO:	O.I.C.P.	REVISO:	J.D.B.D.
ESCALA:	INDIC.	FECHA:	MARZO/90
		APROBO:	J.D.B.D.
		FIGURA:	6.3



SECCION TRANSVERSAL

SECRETARIA DE OBRAS
PUBLICAS DEL DISTRITO

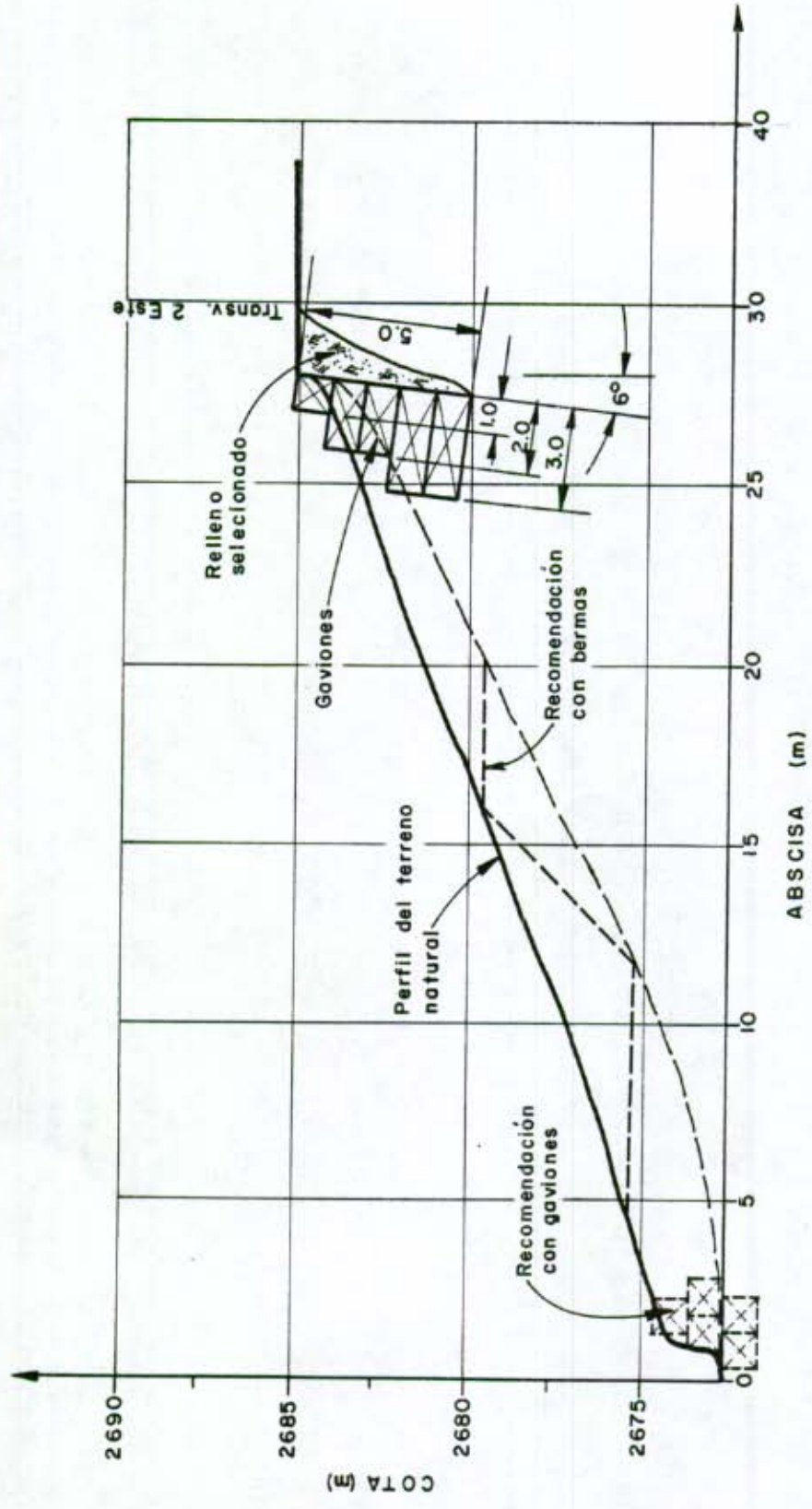
ESTUDIO GEOLOGICO Y GEOTECNICO
BARRIO MARISCAL SUCRE - BOGOTA D.E.

ING. JAIME D. BATEMAN DURAN

SUBZONA 2

DIBUJO: O.I.C.P. REVISO: J.D.B.D. APROBO: J.D.B.D.

ESCALA: INDIC. FECHA: MARZO/90 FIGURA: 6-4



SECCION TRANSVERSAL

SECRETARIA DE OBRAS PUBLICAS DEL DISTRITO	
ESTUDIO GEOLOGICO Y GEOTECNICO BARRIO MARISCAL SUCRE - BOGOTA D.E.	
ING. JAIME D. BATEMAN DURAN	
SUBZONA 3	
DIBUJO: O.I.C.P.	REVISO: J.D.B.D.
ESCALA: SIN	FECHA: MARZO/90
	APROBO: J.D.B.D. FIGURA: 6.5

a1

A N E X O No 7
CANTIDADES DE OBRA Y PRESUPUESTO



Presupuesto
 Resumen Costos Totales

Subzona	Costo Total
Subzona 1	\$ 15'080.731,00
Subzona 3	\$ 9'764.885,00
Subzona 4	\$ 5'420.025,00
Subzona 5	\$ 1'292.752,00
	31'558.393

Para la subzona 2 se recomiendo un muro de gaviones de 3 metros de altura, empotrado 1m, con una longitud de 100 m; en el caso de querer adecuar la subzona para vivienda. Este muro tiene un costo de \$ 11'380.985,00

Para la subzona 3 el muro en la pata de la inestabilidad debe tener una longitud de 22 m y las mismas características del planteado para la subzona 2. El costo total del muro en gaviones es de \$ 2'503.816,70

93

Presupuesto Subzona 1
Resumen.

Cunetas Tipo I	15 ml
Cunetas Tipo II	363 ml
Trinchera drenante	40 ml
Rapidas	19.5 ml
Excavación	2510.0 m3
Empedricación	2800 m2

ITEM	Unidad	Cantidad	V-Unitario	V-Total
Cuneta tipo I	ml	15	2265.3	33979.50
Cuneta tipo II	ml	363	2150.5	780631.50
Trinchera drenante	ml	40	23122.5	924900 =
Rapida	ml	19.50	25797.5	503051.2
Excavación	m3	2510.00	2900.0	7279000 =
Empedricación	m2	2800.00	742.5	2079000 =

Costo Directo \$ 11'600.562.2

Costo Indirecto (30% costo directo) \$ 3480168.7

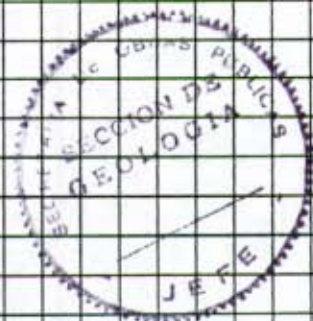
Costo Total 15'080.731.00

94

Presupuesto Subzona I

Trinchera drenante

Longitud	40	m/
Ancho	0.60	m/
Profundidad	2.00	m/
Geotextil	240.0	m ²
Cantos	48.0	m ³
relleno arcilloso	7.2	m ³
Excavación	55.2	m ³



Excavaciones

Las excavaciones se efectuarán en material común, el porcentaje de expansión es del 25%. El análisis de precios unitarios se muestra en las páginas siguientes.

Cantos entre 3" y 6"

El relleno se calcula con un 10% adicional por desperdicios y selección de los mismos. El análisis de precios unitarios se muestra adelante.

Geotextil

se calcula una longitud de traslapo mínima de 0.30 m; el desperdicio dada las dimensiones de la trinchera se estima en un 25%.

Relleno arcilloso

Dado que en la subzona No 1 se encuentran suelos arcillosos no se considera un costo adicional por este ítem, simplemente se toma en cuenta su colocación.

Cunetas

Los precios unitarios se muestran en las siguientes páginas, en ellos se ha tenido en cuenta la mano de obra y desperdicios para las distintas materiales al igual que el transporte.

Los desperdicios se calcularon como 10% para concreto, 10% malla de gallinero y 5% para varilla de anclaje.

95

Presupuesto Subzona 1

Trinchera drenante (continuación)

ITEM	Unidad	Cantidad	V-unitario	V-TOTAL
Excavacion	m ³	69.0	2900 =	200.100 =
Cantos entre 3" y 6"	m ³	52.8	5000 =	264.000 =
Geotextil	m ²	300.0	1512. =	453.600 =
Relleno arcilloso	m ³	7.2	1000 =	7.200 =

Costo Directo \$ 924.900 =

Costo Directo por m.l. = \$ 23122.5

Rapida (por m.l.)

ITEM	Unidad	Cantidad	V-Unitario	V Total
Concreto de 2000 psi	m ³	0.25	23500. =	5875.0
Acero de 2400 kg/cm ²	kg	17.50	215. =	3762.5
Formaleta	m ²	2.00	6000. =	12.000 =
Mano de obra	Global	0.25	12.000. =	3000. =
Excavacion	m ³	0.40	2.900 =	1160 =

Costo Directo \$ 25.797.5

Costos Indirectos (30% costo Directo) 7.739.3

Costo Total por metro lineal \$ 33.536.75

Resumen

Muro de Contención en Gaviones

Subzona 3.

- Excavaciones 386 m³
- Relleno del Gavión 429 m³
- Relleno seleccionado 28 m³
- Malla triple torsión 215 Unid

ITEM	Unidad	Cantidad	V-Unitario	V-Total
Mano de obra	m ³	471.9	6000.00	2'831.400 =
Excavaciones	m ³	482.5	2900.00	1'399.250 =
Relleno con Cantos	m ³	471.9	3000.00	1'415.700 =
Malla	Unid	215.0	6116.00	1'314.940
Relleno seleccionado	m ³	30.8	10200.00	314.160
Reubicación	Global		200.000,00	200.000
Formalita	m ²	6.0	6.000,00	36.000

COSTOS DIRECTOS 7'511.450

Costos Indirectos (30% costos directos) 2'253.435

TOTAL muro de Gaviones 39 m L (429 m³) 9'764.885

Costo promedio por metro cubico \$ 9'764.885 / 429 m³

Costo promedio m³ de gavión \$ 22.761,97

97

Subzona 3

Excavaciones.

Al volar calculado de las excavaciones se le incremento un 25% por expansión del material. La mano de obra al igual que los acarreas se incluyen en el costo unitario.

Releño seleccionado

se considero un incremento del 10% por desperdicios, se incluye el costo de compactación y colocación.

Malla triple torsión

Se incluye el costo del alambre para el cosido, y el costo por malla de $2 \times 1 \text{ m}$

Mano de Obra

se calcula un costo por m³ de gavión construido, incluyendo el cosido y llenado de las canastas de \$6.000=

Releño con Cantos

Se incluye un 10% adicional por desperdicios, y selección de los cantos

Formaleta

Con el fin de dar a cada gavión la forma correcta es necesario iniciar el llenado con una formaleta que se podrá usar muchas veces hasta terminar el muro.

98

Presupuesto Trinchera drenante
Subzona 4.

Resumen.

ITEM *	Unidad	Cantidad	V-Unitario	V-Total
Excavaciones	m ³	302.5	2900,0	877.250,0
Relleno con Cantos	m ³	225.5	5000,0	1'127.500,0
Apointamiento	m ²	378,0	2000,0	756.000,0
Geotextil	m ²	787,8	1512,0	1'191.153,6
Cunetas	m.l	83,0	2136,7	177.346,1
Rellenos arcillosos	m ³	20,0	2000,0	40.000,0
COSTO DIRECTO TRINCHERA				4'169.249,7
Costos indirectos (30% del costo directo)				1'250.774,9
COSTO TOTAL (al peso)				5'420.025,00

* se incluye la mano de obra. —

99

Presupuesto Trinchera drenante
Subzona 4.

Excavaciones	242 m ³
Cantos entre 3" y 6"	205 m ³
Relleno arcilloso	20 m ³
Tela Geotextil	685 m ²
Cunetas	83 m ^l

Excavaciones

Se requiere un volumen de excavación igual a 242 m³ la expansión calculada (25%) es de 60.5 m³ para un total de 302.5 m³.

Apuntalamiento

Se requiere apuntalar 54 m^l de trinchera cuya altura es superior a 3.0 m pero inferior a 4.0 m para una altura de 3.5 m y 2 caras se tienen 378 m² de apuntalamiento.

Geotextil

Se requiere un geotextil no tejido; dada la variabilidad de la profundidad se estima un desperdicio del 15%, entonces, 685 m² + (15%) 102.8 m² igual a 787.8 m²

Cantos entre 3" y 6"

Se requieren cantos sanos resistentes y durables, el desperdicio promedio es del 10% para 205 m³ + 20.5 m³ se tienen 225.5 m³

Relleno arcilloso

Dadas las condiciones geotécnicas del lugar, el suelo presente podría emplearse como relleno arcilloso

Cunetas

La longitud total de las cunetas es de 83 m^l se estima un desperdicio del 10% para concreto, y 10% para la malla de gallinero.

JAIME D. BATEMAN DURAN

Ingeniero Civil - M. en I.

Proyecto Mariscal Sucre [Trinchera Subzona 4] Hoja 9 de 11

Asunto Presupuesto Trinchera drenante Subzona 4

Elaborado por M.C

Revisado _____ Aprobado _____ Fecha Marzo 1990

100

Presupuesto Trinchera drenante
Subzona 4

Mano de obra

Para excavaciones se calcula un costo global por m³ de \$ 1500⁻
Para colocar el canto seleccionado se calcula un costo
por m³ de canto igual a \$ 2000⁻
Para rellenos se calcula un costo global por m³ de \$ 1500⁻

Costos Indirectos

Se agruparon en Administración, Impuestos y utilidad y se
calcularon como un 30% del costo directo.

La mano de obra se ha incluido en los costos por m³ de
excavación, rellenos, Cunetas, Apuntalamiento, etc.

101

Presupuesto Trincheras No 1 y No 2

Subzona 5

Utilizando los items calculados para la trinchera drenante de la subzona 4 tenemos:

Trinchera No 1

Cantidades de obra sin aumentar por expansión o desperdicios.

Excavaciones	48	m ³
relleno arcilloso	9	m ³
Cantos 3" y 6"	29	m ³
Geotextil	149	m ²
Cunetas	10	m ^l

ITEM	Unidad	Cantidad	V-unitario	V-total
Excavaciones	m ³	60.0 ✓	2900,0	174.000,0
Relleno con Cantos	m ³	31.9 ✓	5000,0	159.500,0
Geotextil	m ²	186.3 ✓	1512,0	281.685,6
Cunetas	m ^l	10.0 ✓	2136,7	21.367,0
Relleno arcilloso	m ³	9.0 ✓	2000,0	18.000,0

COSTOS DIRECTOS \$ 654.552,6

Costos Indirectos (30% del costo directo) \$ 196.365,78

COSTO TOTAL 850.918,0

Trinchera No 2.

Excavaciones	23	m ³
Relleno con Cantos	19	m ³
Geotextil	67	m ²
Cuneta	10	m ^l
Relleno arcilloso	2	m ³

102

TRINCHERA DRENANTE NO 2

ITEM	Unidad	Cantidad	V-unitario	V total
Excavaciones	m ³	28.75 ✓	2900.0	83.375
Relleno con Cantos	m ³	20.90 ✓	5000.0	104.500
Geotextil	m ²	83.75 ✓	1512.0	126.630
Cuneta	m ¹	15.00 ✓	143.78	2136.7
Relleno arcilloso	m ³	2.00 ✓	2000.0	4.000
Costos Directos				339.872
Costos Indirectos (30% Costo directo)				101.961.6
COSTO TOTAL				441.834.0

JAIME BATEMAN D.
INGENIERO CONSULTOR

103

ANALISIS DE PRECIOS UNITARIOS

Firma Proponente _____ Obra Mariscal Sucre
Partido de Trabajo _____ Fecha Marzo 1990

I - EQUIPO Cuneta Tipo I por ml

Descripción	Tipo	Tarifa/Hora	Rendimiento	Valor-Unit.

Sub-Total

II - MATERIALES EN OBRA

Descripción	Unidad	Precio-Unit	Contdad	Valor-Unit.
Concreto de 2000 psi	m3	23500	0.03	705
Malla de gallinero calibre 20	m2	125.9	0.6	75.5
Acero de 2400 Kg/cm2 (32000)	kg	215	0.54	114.8

Sub-Total 895.3

III - TRANSPORTES

Material	VOLUMEN	Distancia	(M ³ /Ton)Km	Tarifa	Valor-Unit.

Sub-Total

IV - MANO DE OBRA

Trabajador	Jornal	Prestaciones	Jornal Total	Rendimiento	Valor-Unit
ayudantes	2740	2740	5480	8m/dia	685
oficial	2740	2740	5480	8 m/dia	685

Sub-Total 1370,00

V - COSTOS INDIRECTOS

Total Costo Directo 2265.30

Descripción	Porcentaje	Valor Total
A.I.U	30%	679.6

Sub-Total 679.6

UNIDAD _____ Aproxm. al peso

Precio Unitario Total 2945.00

JAIME BATEMAN D.
INGENIERO CONSULTOR

104

ANALISIS DE PRECIOS UNITARIOS

Firma Proponente _____ Obra MARISCAL SUCRE
Partido de Trabajo _____ Fecha Marzo de 1990

I - EQUIPO Cuneta de 0.8m de ancho por ml

Descripción	Tipo	Tarifa/Hora	Rendimiento	Valor-Unit.

Sub-Total

II - MATERIALES EN OBRA

Descripción	Unidad	Precio-Unit	Cantidad	Valor-Unit.
Concreto de 2000 psi	m3	23500	0.04	940
Malla de gallinero calibre 20	m2	125.9	0.80	100.7

Sub-Total 1040.7

III - TRANSPORTES

Material	VOLUMEN	Distancia	(M ³ /Ton)Km	Tarifa	Valor-Unit.

Sub-Total

IV - MANO DE OBRA

Trabajador	Jornal	Prestaciones	Jornal Total	Rendimiento	Valor - Unit
2 ayudantes	2740	2740	5480	10 m/dia	548
1 oficial	2740	2740	5480	10m/dia	548

Sub-Total 1096.00

V - COSTOS INDIRECTOS

Total Costo Directo 2136,7

Descripción	Porcentaje	Valor Total
A.I.U	30%	641,00

Sub-Total 641.00

UNIDAD _____ Aproxm. al peso

Precio Unitario Total 2778.00

JAI ME BATEMAN D.
INGENIERO CONSULTOR

105

ANALISIS DE PRECIOS UNITARIOS

Firma Proponente _____ Obra Mariscal sucre

Partido de Trabajo _____ Fecha Marzo 1990

I - EQUIPO Cuneta tipo II por ml

Descripción	Tipo	Tarifa/Hora	Rendimiento	Valor - Unit.

Sub - Total

II - MATERIALES EN OBRA

Descripción	Unidad	Precio-Unit	Contdad	Valor - Unit.
Concreto de 2000 psi	m3	23500	0.03	705
Malla de gallinero calibre 20	m2	1259	0.60	75,5

Sub - Total 780,50

III - TRANSPORTES

Material	VOLUMEN	Distancia	(M ³ /Ton)Km	Tarifa	Valor - Unit.

Sub - Total

IV - MANO DE OBRA

Trabajador	Jornal	Prestaciones	Jornal Total	Rendimiento	Valor - Unit
2 ayudantes	2740	2740	5480	8 m/ dia	685
1 oficial	2740	2740	5480	8 m/dia	685

Sub - Total 1370,00

V - COSTOS INDIRECTOS

Total Costo Directo 2150.50

Descripción	Porcentaje	Valor Total
A.I.U	30%	645.15

Sub - Total 645.15

UNIDAD _____ Aproxm. al peso

Precio Unitario Total

2796,00

JAIME BATEMAN D.
INGENIERO CONSULTOR

107

ANALISIS DE PRECIOS UNITARIOS

Firma Proponente _____ Obra MARISCAL SUCRE
Partido de Trabajo _____ Fecha Marzo de 1990

I - EQUIPO Excavación manual y transporte por m3

Descripción	Tipo	Tarifa/Hora	Rendimiento	Valor - Unit.
pala		100	0.5	200
pica		100	0.5	200
Sub - Total				400,00

II - MATERIALES EN OBRA

Descripción	Unidad	Precio-Unit	Contdad	Valor - Unit.
Sub - Total				

III - TRANSPORTES

Material	VOLUMEN	Distancia	(M ³ /Ton)Km	Tarifa	Valor - Unit.
suelo excavado	m3				1.000
Sub - Total					1.000,00

IV - MANO DE OBRA

Trabajador	Jornal	Prestaciones	Jornal Total	Rendimiento	Valor - Unit
Global				m3	1.500
Sub - Total					1.500,00

V - COSTOS INDIRECTOS

Total Costo Directo 2900,00

Descripción	Porcentaje	Valor Total
A.I.U	30%	870
Sub - Total		870

UNIDAD _____ Aproxm. al peso

Precio Unitario Total 3770,00

JAIMÉ BATEMAN D.
INGENIERO CONSULTOR

108

ANALISIS DE PRECIOS UNITARIOS

Firma Proponente _____ Obra Mariscal Sucre
Partido de Trabajo _____ Fecha Marzo 1990

I - EQUIPO Relleno con cantos (3" y 6") por m3

Descripción	Tipo	Tarifa/Hora	Rendimiento	Valor - Unit.
Sub - Total				

II - MATERIALES EN OBRA

Descripción	Unidad	Precio-Unit	Cantidad	Valor - Unit.
Cantos	m3	3000	1	3000
Sub - Total				3000,00

III - TRANSPORTES

Material	VOLUMEN	Distancia	(M ³ o Ton)/Km	Tarifa	Valor - Unit.
Sub - Total					

IV - MANO DE OBRA

Trabajador	Jornal	Prestaciones	Jornal Total	Rendimiento	Valor - Unit.
Global					2000
Sub - Total					2000,00

V - COSTOS INDIRECTOS

Total Costo Directo 5000,00

Descripción	Porcentaje	Valor Total
A. T. II	30%	1500
Sub - Total		1500,00

UNIDAD _____ Aproxm. al peso

Precio Unitario Total 6500,00

JAIMÉ BATEMAN D.
INGENIERO CONSULTOR

109

ANALISIS DE PRECIOS UNITARIOS

Firma Proponente _____

Obra Mariscal Sucre

Partido de Trabajo _____

Fecha Marzo 1990

I - EQUIPO

Empradización

en m2

Descripción	Tipo	Tarifa/Hora	Rendimiento	Valor - Unit.
2 palas		200	2.0	100

Sub - Total 100.00

II - MATERIALES EN OBRA

Descripción	Unidad	Precio-Unit	Contdad	Valor - Unit.
cesped 1.0m x 1.0m	m2	300	1	300

Sub - Total 300.00

III - TRANSPORTES

Material	VOLUMEN	Distancia	(M ³ /Ton)Km	Tarifa	Valor - Unit.

Sub - Total

IV - MANO DE OBRA

Trabajador	Jornal	Prestaciones	Jornal Total	Rendimiento	Valor - Unit
2 Ayudantes	2740	2740	5480	16m2/dia	342.5

Sub - Total 342.50

V - COSTOS INDIRECTOS

Total Costo Directo 742.5

Descripción	Porcentaje	Valor Total
A.I.U	30%	222.8

Sub - Total 222.8

UNIDAD _____ Aproxm. al peso

Precio Unitario Total 965.00